

VYSOKÁ ŠKOLA STROJNÍ A TEXTILNÍ  
V LIBERCI  
FAKULTA TEXTILNÍ

KATEDRA NETKANÝCH TEXTILIÍ A ZUŠLECHTOVÁNÍ

OVERENÍ METODY PRO STANOVENÍ PODÍLU POVRCHU VLÁKEN  
ZASAZENÉHO POJIVEM

/Diplomová práce/

V Liberci dne 30.5.1975

Jaroslava Fabiánová

Vysoká škola: strojní a textilní

netkaných textilií  
Katedra: a zušlechtování

Fakulta: textilní

Školní rok: 1974/75

## DIPLOMOVÝ ÚKOL

pro

Jaroslava Fabiánová

obor 31-11-8 Technologie textilu, kůže, gumy a plastických hmot

Protože jste splnila požadavky učebního plánu, zadává Vám vedoucí katedry ve smyslu směrnic ministerstva školství o státních závěrečných zkouškách tento diplomový úkol:

Název tématu: Ověření metody pro stanovení podílu povrchu vláken zasaženého pojivem.

### Pokyny pro vypracování:

1. Prostudujte metody zjištování velikosti stykové plochy vlákno-pojivo.
2. Prostudujte statistické metody používané k hodnocení přesnosti a použitelnosti experimentálních metod.
3. V experimentální části ověřte kolorimetrickou metodou stanovení z při modelovém uspořádání (materiál PAD a POP).
4. Proveďte několik stanovení parametru z na provozně vyrobené pojené textilie složení PAD/POP.

Autorisér práce se řidi směrnicemi MŠV  
1. provede t. 12-Venice 1975/1976, začátek 24. dne  
1.2. 1972 Č 19 květen 1972 zákon č 115/73 Sb.

T  
V 35/1975

VYSOKÁ ŠKOLA STROJNÍ A TEXTILNÍ

KNIHOVNA  
FACULTA STUDENTSKÁ 5



3.1.1	Vlákenný materiál	33
3.1.2	Použité chemikálie	33
3.2.0	<b>POUŽITÉ PŘÍSTROJE A ZAŘÍZENÍ</b>	33
3.3.0	<b>POPIS EXPERIMENTÁLNÍ PRÁCE</b>	33
3.3.1	Příprava vzorků	33
3.3.1.1	Příprava PAD vlastců	34
3.3.1.2	Příprava vzorků pojené textilie	34
3.3.2	Vybarvování vzorků	34
3.3.2.1	Vybarvování PAD vlastců	34
3.3.2.2	Vybarvování pojené textilie	35
3.4.0	<b>STANOVENÍ PARAMETRU "z"</b>	35
3.4.1	Stanovení absorpcního maxima	35
3.4.2	Stanovení kalibrační přímky	36
3.4.3	Vzorevý výpočet parametru "z"	37
3.5.0	<b>POUŽITÍ SEKVENCNÍ ANALÝZY</b>	40
3.5.1	Sestrojení diagramu pro sekvenční analýzu	40
3.5.2	Testování diagramu pro sekvenční analýzu	40
3.6.0	<b>REGRESNÍ ANALÝZA</b>	41
3.6.1	Výpočet konstant regresní přímky	41
3.6.2	Použití t-testu	42
3.6.3	Testování metodou MANDELA a LINNINGA	43
4.0.0	<b>VÝSLEDKY A VYHODNOCENÍ</b>	45
4.1.0	<b>PŘEHLED VÝSLEDKU</b>	46
4.1.1	Seznam a přehled použitých značek (symbolů)	46
4.1.2	Tabulky naměřených a vypočtených hodnot	47
4.1.3	Grafické závislosti	53
4.2.0	Vyhodnocení experimentálního pokusu a aplikace závěrů na poloprovozně vyrobené textilii	57
5.0.0	<b>ZÁVER ČNÁ ČÁST</b>	60
6.0.0	<b>SEZNAM POUŽITÉ LITERATURY</b>	62



### 1.1.0 Úvod

Vedeckotechnický rozvoj neponechal bez povšimnutí žádný obor a v poměrně krátké době vyvolal značné kvalitativní změny. V textilním průmyslu umožnil uplatnění zcela nových způsobů výroby. Nové technologie, které se liší od tradičních způsobů výroby, za které pokládáme výrobu tkanin, pletenin a vlněných plstí, se nazývají technologiemi netkaných textilií.

① Nějprogresivnejší částí netkaných textilií je výroba textilií pojmených adhezivy. Zejména její ekonomické výhody k ní obracejí pozornost textilních techniků na celém světě.

V literatuře je dosud velmi málo prací, které by shrnuly problematiku tohoto nového oboru. Příčiny lze vidět v tom, že obor netkaných textilií zasahuje do mnoha jiných vědních oborů a vyžaduje tudiž komplexní práci řady specialistů.

Obecně platná teorie, která by umožnila předvídat a předem řídit výsledné vlastnosti netkaných textilií dosud neexistuje /1/.

Vlastnosti pojmených textilií jsou ovlivňovány řadou faktorů. Na základě matematických vztahů a grafických závislostí uváděných v literatuře lze říci, že nevětší mírou je ovlivňují vlastnosti vláken a pojiv. Tento vliv je dostatečně propracován řadou autorů. Mensí pozornost byla venována problematice adheze.

Vliv struktury mist spojení nebyl dosud dostatečně vyšetřen a jeví se žádoucí jej určit.

Znalost teorie struktury pojmených textilií by měla být vodítkem k jejímu plánovitému rizení a tím i vlastností pojmených textilií. K objasnění teorie struktury by měla malou merou přispět i tato diplomová práce, jejímž úkolem je ověřit přesnost, správnost a použitelnost kolorimetrické metody pro stanovení parametru "z", tj. podílu povrchu vláken zasazeného pojivem, jehož je potřeba pro výpočet parametru  $\Gamma$  (tzv. charakteristický povrch vláken zasažený pojivem). Tento parametr nám charakterizuje strukturu pojmených textilií.



## 2.1.0 Současné představy o struktuře pojenech textilií

Jak již bylo uvedeno v úvodu, struktura je rozhodujícím faktorem pro konečné vlastnosti pojenech textilií.

Je určována komplexem faktorů, z nichž nejdůležitější jsou /1/:

- uspořádání vláken v pojene textilii
- struktura vazných míst (míst spojení)
- distribuce (geometrické uspořádání) vazných míst
- četnost vazných míst

### 2.1.1 Uspořádání vláken v pojene textilii

Uspořádání vláken v pojene textilii ovlivňuje vlastnosti vláken a do značné míry je možno jej realizovat podle předem stanoveného požadavku. Výchozí vlákenná vrstva má své uspořádání vláken podle toho, jakým způsobem byla vyrobena.

Během procesu zpevnování výchozí vlákenné vrstvy (rouna), dochází ke změně orientace vláken. Velikost změny závisí na zpevnovacím technologickém procesu a je dána stupnem trvalé deformace rouna během procesu. Zpevnujeme-li rouno postříkem disperzem pojiv, je změna v uspořádání vláken minimální. Orientace vláken v pojene textilii se přibližně shoduje s orientací vláken ve výchozí vlákenné vrstvě. Původní uspořádání vláken se podstatně změní, použijeme-li ke zpevnění technologický proces, jenž využívá vlivu tlaku. Tlak usměrňuje uspořádání vláken výrazně /1/.

### 2.1.2 Struktura míst spojení

Místa spojení jsou oblasti pojene textilie, kde dochází ke kontaktu minimálně dvou vláken použitým pojivem. Charakter místa spojení závisí na druhu použitého pojiva a mění se s technologickými podmínkami výroby pojenech textilií.

Na podkladě vlastních prací a prací různých autorů, definoval TICHOMIROV tři základní typy struktur pojených textilií /4/:

- segmentová struktura
- aglomerační struktura
- bodová struktura

Uvedené typy jsou mezními případy struktur pojených textilií.

V praxi se struktury pojených textilií zpravidla pouze blíží k některému základnímu typu a vzájemně se prolinají.

Je nutné se jesté zmínit o existenci struktur řízených ploch propojení, tj. nesouvislým rozmištěním pojiva v textilií a struktur náhodilých ploch propojení /1/.

#### 2.1.3 Distribuce míst spojení /2/

Distribuce vazných míst představuje jejich rozdělení v celém objemu pojené textilie. Závisí na tvaru vazných míst a je již možno ovlivňovat technologickými zásahy.

Např. u segmentové struktury je distribuce vazných míst závislá na obsahu pojiva. Mneži autoři udávají obsah pojiva 5-10 % jako hranici, nad níž už pojivo vytváří souvislý film. Takový film je možno považovat za jediné vazné místo, které zasahuje větší množství vláken, jež jsou od sebe dosti vzdálena. V příčném řezu textilie se projevuje nerovnomernost rozdelení pojiva, která je způsobena migrací pojiva k povrchu textilie. Na povrchu textilie jsou pak husté propojená místa, kdežto ve středu dochází nekdy ke štěpení vláknenné vrstvy.

Zámernou distribuci je možné vyvolat technologickými zásahy a to:

- distribuci míst spojení ve vrstvách (lamelách), např. stříkáním jednotlivých pavučin pojivem
- distribuci míst spojení v předem určených oblastech textilie např. vzorovým (matricovým) nanášením pojiva
- případnou kombinaci obou způsobů

U aglomerační a bodové struktury je distribuce vazných míst obvykle homogenní a lze ji zámerne vyvolat použitím vzorové mřížky nebo lisováním vzorovou matricí.

## 2.2.0 Možnosti určení struktury pojených textilií

V této kapitole bude podán přehled metod a postupů, vedoucích ke stanovení parametrů, charakterizujících (popisujících) strukturu míst spojení a jejich distribuci v pojené textilii.

### 2.2.1 Koefficient využití pojiva a délka volného úseku vláken mezi spoji /2/

Distribuci pojiva a jejím vlivem na vlastnosti pojené textilie se zabýval FROLŮV a TICHOMIROV /4/.

Byl zaveden koefficient využití pojiva  $K$ .

$$K = \frac{G_{pm}}{G_p} = \frac{V_{pm}}{V_p}, \quad (0.51), \quad (1)$$

kde  $G_{pm}$  a  $V_{pm}$  vyjadřuje hmotnost a objem pojiva v místech spojení, X(3)  
 $G_p$  a  $V_p$  vyjadřuje hmotnost a objem pojiva v pojené textilii.  
Zjednodušující předpoklady pro zavedení  $K$ :

- místo spojení je v místě překřížení vláken a nepřesahuje svým rozměrem oblast o průměru  $2.(r+h)$  /1/ (4)
- všechna vlákna v pojené textilii jsou rovnoměrně potažena filmem pojiva o tloušťce  $h$

V ideálním případě je všechno pojivo v místech spojení, tedy  $G_{pm} = G_p$  a  $K = 1$ .

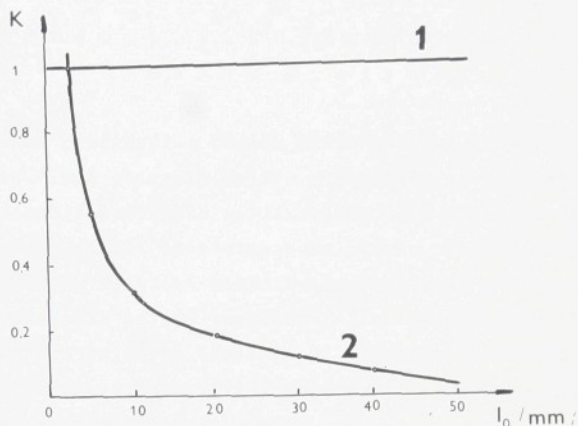
Jestliže  $K = 0$ , potom je všechno pojivo mimo místa spojení a vlákna nejsou vzájemně propojena.

Pro pojené textilie se strukturou blízkou struktuře segmentové platí vztah pro výpočet  $K$ :

$$K = \frac{2.(r+h)}{l_0}, \quad (2)$$

$r$ ... polomer vláken /mm/

$h$ ... tloušťka filmu /mm/



Obr.1. Vliv délky úseku vláken mezi spoji na velikost koeficientu využití pojiva

1- textilie se strukturou bodovou

2- textilie se strukturou blízkou segmentové strukture

$l_0 \dots$  délka volného úseku vláken mezi spoji /mm/

Pomoci vztahu (2) byly pro různé hodnoty  $r$ ,  $h$ ,  $l_0$  vypočteny príslušné hodnoty  $K$  a stanovena grafická závislost koeficientu využití pojiva na délce volného úseku vláken mezi spoji (obr.1.).

Pro pojenu textilii se strukturou bodovou se předpokláda, že koeficient využití pojiva na délce úseku vláken mezi spoji nezávisí a na obrázku je tato závislost znázorněna rovnoběžkou s osou úseček. Vzhledem k zjednodušujícím předpokladům je použití vztahu (2) problematické. Tato problematika je rozebrána v práci HAMPLA /2/.

Autor v závěru uvádí, že jako kvantitativní strukturální parametr je možno akceptovat pouze délku volného úseku vláken mezi spoji  $l_0$ , který je stanovitelný mikroskopicky. Tento parametr je však zcela postačující pouze pro textilie s bodovou strukturou.

$K$  a  $l_0$  jsou tedy strukturální parametry ovlivňující deformační vlastnosti pojene textilie, tuhost, splývavost, mačkavost atd. Jejich vliv na uvedené vlastnosti byl zkoumán a byly stanoveny korelační závislosti /2/.

### 2.2.2 Metoda, popisující tvar a velikost místa spojení

Problémem velikosti a tvarem místa spojení se zabývali HILL a MICHIE. Selektivně obarvili pojivo v textilii se segmentovou strukturou aby dosáhli kontrastu oproti vláknům. Z mikroskopických snímků těchto textilií byla stanovena plocha, kterou zaujímalo pojivo. Současně byla zjištěna distribuce a velikost míst spojení. Po odstranění vláken z pojené textilie jejich rozpuštěním, bylo objeveno, že ve zkoumaných pojených textiliích, získaných použitím disperzí polymerů, tvoří pojivo nepřetržitý pérový film v podobě systému dutých válců, které jsou navzájem spojeny.

Podobný postup použila HAVLÍČKOVÁ /6/ pro textilie se strukturou a-glomerační.

HRUŠKOVÁ /7/ zjišťovala tvar místa spojení. Pojená textilie se selektivně obarveným pojivem byla zalévána do pryskyřice. Takto upravený vzorek byl postupně obroušován a fotograficky zjištovány obrysů míst spojení v jednotlivých vrstvách. Překreslením obrysů byly získány vrstevnicové popisy jednotlivých míst spojení.

### 2.2.3.0 Povrch vláken zasažený pojivem

Pro současné potřeby stanovení struktury pojených textilií bylo potřebné vypracovat metodu, která by vycházela ze základního uvažovaného prvku – povrchu vláken zasažených pojivem.

Tento problém je zpracován v práci HAMPLA /2/. Autor usuzuje, že za předpokladu homogenní distribuce míst spojení v pojené textilii, je možné stanovit velikost blokováního povrchu pro všechna místa současně. Vztahne-li se stanovená velikost blokováních povrchů k celkovému objemu pojiva, získá se  $\Gamma$ , tzv. charakteristický povrch vláken zasažený pojivem.

$$\Gamma = \frac{Z}{B_v} \quad (3)$$

$\Gamma$  ... charakteristický povrch vláken zasažený pojivem  $/m^2 \cdot m^{-3}/$

$Z$  ... povrch vláken zasažený pojivem  $/m^2/$

$B_v$  ... objem pojiva  $/m^3/$

Segmentové struktury odpovídají hodnoty  $\Gamma$  větší než struktury aglo-

měrační. Pro strukturu bedovou je hodnota tohoto parametru nejmenší.

Odvození vztahu pro výpočet  $\Gamma$  dosazováním do výchozího vztahu (3), jednotlivé matematické úpravy jsou uvedeny v uváděné práci.

Pro výpočet parametru  $\Gamma$  je potřebné experimentálně zjistit:

- jemnost vláken
- váhový podíl pojiva
- podíl povrchu vláken zasažených pojivem

Podíl pojiva se stanoví extrakcí vysušeného a zváženého vzorku vhodným rozpouštědem.

Jemnost vláken se stanoví některou z běžných metod. Bud měřením průměru vláken nebo stanovením titru.

Ke stanovení velikosti povrchu zasaženého pojivem u vláken je možno využít rozdílných sorpčních schopnosti vlákna a pojiva, které tvoří pojenu textilií.

Sorpčních metod pro stanovení aktivního povrchu polymerů je celá řada. Jimi se ve své diplomové práci zabývá RAŠKA /8/.

Tyto metody používají jako sorbátu látky s relativně malou molekulou (vzácné plyny, dusík, metanol), které při vytvoření monomolekulární vrstvy na povrchu sorbantu jsou schopny registrovat všechny jeho nehomogenity a tak určit celý aktivní povrch /2/. Použití většiny těchto metod je pro obtížnost jejich matematického vyjadřování, velikou citlivost a pracnost pro naše podmínky neproveditelná. Proto bylo od těchto metod upuštěno a pozornost byla věnována jiným, pro naše podmínky vhodnějším a méně náročným způsobům měření.

Povrch vláken zasažený pojivem se stanoví metodou selektivního barvení. Tato metoda tedy využívá rozdílné vybarvovací schopnosti použitého barviva k jednotlivým polymerům. Voleným barvivem se obarví vzorek pojené textilie a také vzorek nepropojeného vlákkenného materiálu. Množství barviva na vláknech se u obou vzorků určí kolorimetrickou metodou. Rozdíl v množství ulpělého barviva na vláknech obou vzorků představuje podíl povrchu vláken zasaženého pojivem. Rozdíl, vyjádřený jako podíl z množství barviva nacházejícího se na vláknech nepojeného vzorku je roven číselnému zlomku povrchu vláken zasaženého pojivem "z" /2/.

### 2.2.3.1 Barvení vláken a základní barvířské pojmy /10/

Barvivo je nutno zvolit vždy podle konkrétní dvojice vlákno-po-  
jivo a to tak, abychom docílili selektivního obarvení vláken. Při  
barvení nesmí dojít k zašpinění pojiva a současné musí být zvolen  
barvící postup tak, aby nenastalo poskození pojiva.

V procesu barvení, kdy dochází k upevnění barviva na vlákna, probí-  
hají obecně tyto základní pochody:

1-difuze barviva lázní k povrchu vláken

2-adsorpce částečky barviva na povrch vláken

3-difuze barevné částečky do vlákna

4-fixace barviva na vlákně

Bylo zjištěno, že na afinitu barviva k vláknům má hlavně vliv stu-  
peň disperze barviva v lázni, který závisí především na teplotě,  
obsahu elektrolytů a koncentraci vodíkových iontů v barvící lázni.  
Rychlosť barvení je většinou určována rychlosťí difuze barviva do  
vláken. Teplota lázne ovlivňuje podstatně průběh barvení, neboť v  
teplejších láznicích dochází k většimu zbotnání vláken, difuze do vlá-  
ken je rychlejší, dochází k intenzivnejší migraci a lze dříve do-  
sáhnout rovnovážného stavu.

Kromě teploty ovlivňují disperzi barviva v lázni i soli. Prísady so-  
lí shlukují jemné částice barviva v hrubší, což se opět projeví  
růstem affinity. Nadmerný obsah soli však nemá na proces barvení dal-  
ší vliv, naopak mohou na výsledné barvení působit nepříznivě. Aby  
došlo k dobrému vybarvení, je třeba také zvýšit objem vláken. Nez-  
botnalá vlákna se neobarví, třebaže ostatní podmínky byly optimální.  
Pro dobré vybarvení se tedy musí zajistit co nejvhodnější pracovní  
podmínky.

Pro metodiku barvení jsou používány tyto pojmy:

- Modul lázne P:

$$P = \frac{V}{G} \quad / \text{m}^3 \cdot \text{kg}^{-1} \neq$$

Je to poměr celkového objemu barvící lázne ku váze vybarvené-  
ho textilního materiálu.

v ... objem lázne /m<sup>3</sup>/

G ... hmotnost textilního materiálu /kg/

- Procento vybarvení P:

Je to počet kilogramů barviva použitého k obarvení 100 kg vlákněného materiálu.

- Koncentrace barviva  $c$ : /kg.m<sup>-3</sup>/

- Množství barviva v lazni  $b$ : /kg/

$$b = \frac{P \cdot p}{100}$$

$p$  je hmotnost barvitelného podílu /kg/

- Koncentrace barviva na vláknech  $c_v$ : /kg.kg<sup>-1</sup>/

#### 2.2.3.1.1 Barvení PAD vláken /9/

PAD vlákna lze barvit prakticky všemi skupinami barviv, které se v textilním průmyslu vyskytuje.

Dobrou stálostí vybarvení na PAD vláknech se vyznačují kyselá barviva. Jsou rozpustná ve vodě a setkáváme se u nich s tzv. "bodem nasycení", což je maximální množství barviva, jež může vlákno za daných podmínek přijmout. Pro tuto skupinu barviv je příznačné, že málo vyrovňávají rozdíly v afinitě polyamidového vlákna. Nejrychleji natahuje na vlákno při teplotách 70 až 80 °C. To je také kritické tepelné pásmo. Je-li teplota nižší než 50 °C, natahuje na vlákno pomalu. Vytahovací schopnost je podmíněna teplotou, hodnotou pH barvící lázně a hranicí sytosti. Od složení lázně závisí rychlosť natahování barviv na PAD vlákna.

#### 2.2.3.2 Kolorimetrická metoda

Jak již bylo uvedeno, touto metodou se určí rozdíl v množství ulpělého barviva na vláknech propojeného a nepropojeného vláknenného materiálu.

Princip metody:

Průchodem svazku paprsků monochromatického světla se absorpcí zeslabuje jeho počáteční intenzita. Barevný roztok tak opouští pouze určitou část původního světla, zmensená o podíl světla absorbo-

vaného. Vrstva roztoku barviva o tloušťce 1 cm propouští z počáteční intenzity  $I_0$  pouze určitou část světla a zbytek se v prostředí absorbuje.

Výsledná intenzita světla je:

$$I_1 = I_0 \cdot T$$

$I_0$  ... intenzita světla vstupujícího

$I_1$  ... intenzita světla vystupujícího

T ... propustnost (transparence)

Převrácená hodnota propustnosti je pochltivost (absorpce):

$$\frac{1}{T} = \frac{I_0}{I_1}$$

Při vlastním fotometrickém měření je transparence jen pomocná veličina, proto se převádí na veličinu přímo úměrnou koncentraci. Nazývá se záporný dekadický logaritmus propustnosti /absorbance M/.

$$M = -\log T = \log \frac{I_0}{I_1}$$

V mezích Lambert-Beerova zákona je absorbance zkoumaného roztoku přímo úměrná tloušťce vrstvy a koncentraci.

Lambert-Beerův zákon zní:

$$M = \epsilon \cdot c \cdot d$$

Je-li tloušťka vrstvy konstantní, je modul absorbance  $m = \frac{M}{d}$  přímo úměrný koncentraci.

$$m = \epsilon_s \cdot c$$

$m$  ... modul absorbance  $/m^{-1}/$

$M$  ... absorbance

$d$  ... tloušťka vrstvy  $/m/$

$c$  ... koncentrace  $/kg \cdot m^{-3}/$

$\epsilon$  ... dekadický absorpční koeficient  $/m^3 \cdot kg^{-1} \cdot m^{-1}/$

$\epsilon_s$  ... speciální dekadický absorpční koeficient  $/m^3 \cdot kg^{-1} \cdot m^{-1}/$

Dříve, než se může kolorimetrickou metodou stanovit množství barviva

na vláknech, je nutno určit absorpční maximum zvoleného barviva. Při kolorimetrování roztoku barviva se mění vlnová délka  $\lambda$  tak dlouho, dokud  $m$  stoupá. Nejvyšší hodnota modulu absorbance  $m$  před poklesem udává absorpční maximum. Tím je také určena vlnová délka  $\lambda$ , při které je nutno kolorimetrovat.

Neznámá koncentrace barvíciho roztoku se určí výpočtem z kalibrační přímky.

#### 2.2.3.3 Stanovení kalibrační přímky

Pro stanovení kalibrační přímky se změří moduly absorbance řady standardních roztoků s odstupňovanou koncentrací barviva. Pro zpřesnění konstrukce je možno provést matematický výpočet směrnice přímky a úseku na ose  $y$  metodou nejmenších čtverců.

Za předpokladu platnosti Lambert-Beerova zákona, má rovnice kalibrační přímky tvar:

$$m = \mathcal{E}_s \cdot c + g$$

$c$  ... koncentrace roztoku /kg·m<sup>-3</sup>/

$g$  ... modul absorbance při nulové hodnotě koncentrace

$\mathcal{E}_s$  ... modul absorbance při různých koncentracích /m<sup>-1</sup>/

$\mathcal{E}_s$  ... speciální dekadický absorpční koeficient /m<sup>3</sup>·kg<sup>-1</sup>·m<sup>-1</sup>/

Teoreticky by mělo být  $g=0$ , ale omezená citlivost fotobunky, ne- přesnost přístroje a chyby v odčítání naměřených hodnot způsobují je- ji poměrně nízkou hodnotu.

Pro matematický výpočet platí:

$$\mathcal{E}_s \cdot \sum c_i^2 + g \cdot \sum c_i = \sum c_i \cdot m_i \quad (4)$$

$$\mathcal{E}_s \cdot \sum c_i + g \cdot n = \sum m_i \quad (5)$$

$n$  ... počet proměrovaných roztoků

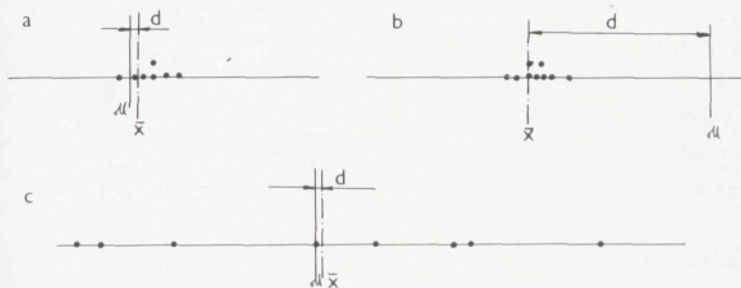
Vyřešením soustav rovnic (4) a (5) se získají číselné hodnoty

$\mathcal{E}_s$  a  $g$ .

### 2.3.0 STATISTICKÉ METODY POUŽÍVANÉ K HODNOCENÍ PŘESNOSTI A POUŽITELNOSTI EXPERIMENTÁLNÍCH MĚTOD

#### 2.3.1 Přesnost a správnost výsledků /11/

Při posuzování určité metody nás obvykle nejvíce zajímá, zda metoda je dostatečně spolehlivá, tj. do jaké míry jsou její výsledky správně neboží jak se shodují se skutečnosti. Jinou vlastností hodnocené metody je její reprodukovatelnost, tj. stálost přesnosti neboží vzájemná dobrá shoda paralelních stanovení při poněkud kolisajícím složení vzorků. Přesnost a správnost výsledků je znázorněna na obr. 2a,b,c: jednotlivé body značí výsledky jednotlivých stanovení, plná svislá čára  $\mu$  vyznačuje správnou hodnotu a prerusovaná čára hodnotou nalezenou jako průměr jednotlivých výsledků  $\bar{x}$ . Nejvhodnější jsou metody, které dávají výsledky presné a současně i správné. Výsledky se navzájem dobře shodují a rozdíl mezi skutečnou a nalezenou hodnotou je malý (obr. 2a). Nesprávné, ale presné výsledky (obr. 2b) se sice vzájemně rovněž dobře shodují, ale konečný výsledek, nalezený jako jejich střed, se od skutečné hodnoty dostí



Obr.2. Správnost a přesnost výsledků  
a-výsledky jsou přesné a správné; správná hodnota je  $\mu$ , průměr je  $\bar{x}$   
b-výsledky jsou přesné, ale nesprávné,  $d$  je soustavná chyba  
c-výsledky jsou nespřesné, ale jejich průměr je správný

liší (všechna stanovení jsou zatížena určitou soustavnou chybou). Nepřesné výsledky jsou rozptýleny okolo správné hodnoty (obr.2c). Pro praxi býejí často výhodnější výsledky přesné, třeba i zatížené určitou soustavnou chybou, než výsledky v průměru sice správné, ale samy o sobě nepřesné.

V prvním případě totiž zcela bezpečně víme, že nalezené hodnoty jsou např. poněkud vyšší, a můžeme dokonce někdy i určit, o kolik se liší od správné hodnoty, kdežto v druhém případě o nich nemůžeme soudit nic víc než to, že průměr je zde málo spolehlivým výsledkem.

Správná volba vhodné metody je sice pro konečný výsledek velmi důležitá, avšak sama o sobě nestačí. Bez pečlivého rozboru nemůžeme získané výsledky pokládat za spolehlivé.

### 2.3.2 Použití matematické statistiky při hodnocení výsledků měření /12/

Posuzujeme-li výsledky, které dostaneme při použití určité experimentální metody, můžeme postupovat trojím způsobem.

Nechceme-li použít matematickostatistických metod, sledujeme pouze, zda metoda nedává výsledky soustavně vyšší nebo nižší, než jsou výsledky získané nějakou "standardní", tj. přesnou a osvědčenou metodou. Postupujeme zpravidla tak, že provádíme rozvary (měření) několika různých vzorků oběma metodami a získané výsledky porovnáme.

Použijeme-li matematickostatistických metod, můžeme soustavnost výskytu rozdílu určitého znaménka otestovat pomocí intervalu spolehlivosti binomického rozdělení /11/.

K objektivnímu posouzení velikosti rozdílu výsledků ověřované a "standardní" metody můžeme pak použít tzv. Studentova t-testu /11/, pokud je použití tohoto testu oprávněno.

Při obou matematickostatistických způsobech rozhodujeme v podstatě mezi dvěma možnostmi:

a/ rozdíl průměrů získaných oběma metodami je buď větší nebo není větší, než odpovídá náhodným chybám obou metod (t-test);

b/ relativní četnost rozdílů (mezi výsledky porovnávané a standardní metody) určitého znaménka (+nebo -) je větší nebo není větší, než odpovídá četnosti za předpokladu binomického rozdělení o  $p=0,50$ , tj. stejné pravdopodobnosti výskytu kladného i záporného rozdílu.

Při používání těchto testů ovlivňuje počet provedených stanovení spolehlivost závěrů do té míry, že je-li rozdíl příliš malý, může vést s pomerně velkou pravdopodobností k nesprávnému rozhodnutí. Ta-to skutečnost pak obvykle vede, ve snaze vyhnout se nesprávnému rozhodnutí, k provádění zbytečně velkého počtu stanovení.

Bylo by výhodné provádět měření jednotlivých vzorků oběma metodami a zároveň zkoumat, máme-li již dostatečný počet výsledků, aby závěry z nich vyplývající byly již dostatečně spolehlivé.

V tom případě lze s výhodou použít sekvenční analýzy /12,13/, která dovoluje rozhodnutí mezi třemi eventualitami:

1. sledovaná metoda nedává soustavně ani vyšší, ani nižší výsledek;
2. jedna z metod dává proti druhé výsledky vyšší častěji, než odpovídá hodnotě  $p=0,50$  ;
3. počet provedených stanovení není dostatečný k spolehlivému rozhodnutí a je třeba provést další měření.

Testovací postup je možné provádět graficky, čímž se stává velmi názorným a současne umožnuje zakreslování jednotlivých výsledků tak, jak je ziskáváme. Tím je zaručeno, že nebude provedeno více stanovení, než je nezbytně nutné ke spolehlivému rozhodnutí.

### 2.3.3 Sekvenční analýza /13/

Sekvenční analýzu vypracoval WALD /15/ v USA za druhé světové války. O možnostech jejího využití se zmínuje NALIMOV /16/. Některé aplikace sekvenční analýzy k hodnocení výsledků uvádí ECKSCHLAGER /12,13/.

Sekvenční analýzy v této diplomové práci bude použito ke zjištění chyby kolorimetrické metody stanovení parametru "z" porovnáním se "standardní" metodou, zjišťováním četnosti kladného a záporného znaménka odchylek.

Postupuje se tak, že jsou analyzovány jednotlivé vzorky oběma meto-

dami , tj. zkoušenou a "standardní", a vypočítá se rozdíl výsledků získaných oběma metodami se zřetelem na znaménko.

Výpočet se provádí podle vztahu

$$d_i = x_{1,i} - x_{2,i} , \quad (1)$$

při čemž za  $x_{2,i}$  se např. zvolí výsledek "standardní" metody a  $x_{1,i}$  výsledek metody porovnávané, získaný při měření i-tého vzorku. Indexy již nelze dále zameňovat. Znaménko + pak znamená vyšší a znaménko - nižší výsledek porovnávané metody proti metodě "standardní". Označí-li se poměr počtu rozdílů určitého znaménka ( $n^+, n^-$ ) k celkovému počtu rozdílů ( $n$ )

$$p_{o+} = \frac{n^+}{n} \quad \text{nebo} \quad p_{o-} = \frac{n^-}{n} , \quad (2)$$

požaduje se, aby v případě, že stanovení není zatiženo soustavnou chybou, byl počet kladných i záporných rozdílů stejný, tj.  $p_o = 0,50$ . Dvojice výsledků  $x_{1,i}$  a  $x_{2,i}$ , které se testují, jsou ovšem jen náhodným výberem, a proto i vyvozené závery platí jen s určitou pravděpodobností. Musí se proto předem určit pravděpodobnost (hladina významnosti), s jakou je možno riskovat nesprávné rozhodnutí. Nesprávné rozhonutí může být dvojího druhu: buďto se zamítne omylem správná metoda (pravděpodobnost vzniku takového nesprávného rozhodnutí se označuje  $\alpha$ ), nebo se přijme nesprávná metoda (pravděpodobnost  $\beta$ ). Zpravidla se volí  $\alpha = \beta = 0,05$ .  $\alpha$  nebo  $\beta$  se volí nižší, např. 0,01, jen tam, kde nesprávné rozhodnutí jednoho nebo druhého druhu by mělo nějaké závažné následky.

Dále se musí zvolit dvě hodnoty  $p_A$  a  $p_B$  souměrné k  $p_o = 0,50$ . Musí platit, že  $p_A + p_B = 1$ . Od hodnot  $p_A$  a  $p_B$  se vyžaduje, aby mezi nimi ležela skutečná hodnota poměru počtu rozdílů se znaménkem + k celkovému počtu rozdílů. Zvolíme-li si např.  $p_A = 0,25$  a  $p_B = 0,75$ , testujeme, že skutečný poměr kladných rozdílů k celkovému počtu rozdílů, tzv. relativní četnost kladných rozdílů, je minimálně 0,25 a maximálně 0,75.

Přestoupí-li skutečný poměr  $p$  tyto hranice, zamítá se zkoušená metoda jako rovnocenná s metodou "standardní". Hodnoty  $p_A$  a  $p_B$  ovlivňují "přísnost" našeho rozhodnutí. Zvolíme-li jejich hodnoty blízké  $p_o = 0,50$ , potřebujeme sice ke konečnému rozhodnutí více výsledků,

ale zato prokážeme, zda je skutečná hodnota  $p$  opravdu blízká teoretické hodnotě  $p_0$ .

Pro zvolené hodnoty  $\alpha$ ,  $\beta$ ,  $p_A$  a  $p_B$  se najdou v tab. 1 příslušné hodnoty  $h_1$ ,  $h_2$ ,  $s_1$ ,  $s_2$ . Nyní se již může konstruovat testovací diagram pro postupnou sekvenční analýzu.

Tabulka 1

Hodnoty  $h_1$ ,  $h_2$ ,  $s_1$ ,  $s_2$  pro konstrukci grafu k sekv. analýze

$p_A$	$p_B$	$s_1$	$s_2$	$\alpha = 0,01$ $\beta = 0,01$ $h_1 = h_2$	$\alpha = 0,01$ $\beta = 0,05$ $h_1$	$\alpha = 0,05$ $\beta = 0,01$ $h_1$	$\alpha = 0,05$ $\beta = 0,05$ $h_1 = h_2$
0,05	0,95	2,2	7,8	1,6	1,0	1,6	1,0
0,1	0,9	2,7	7,3	2,1	1,4	2,1	1,4
0,15	0,85	3,0	7,0	2,6	1,7	2,6	1,7
0,2	0,8	3,4	6,6	3,3	2,2	3,3	2,2
0,25	0,75	3,7	6,3	4,2	2,7	4,2	2,7
0,3	0,7	4,0	6,0	5,4	3,5	5,4	3,5
0,35	0,65	4,2	5,8	7,5	4,8	7,4	4,8
0,4	0,6	4,5	5,5	11,4	7,4	11,2	7,4
0,45	0,55	4,7	5,3	23,0	14,9	22,8	14,9
							14,7

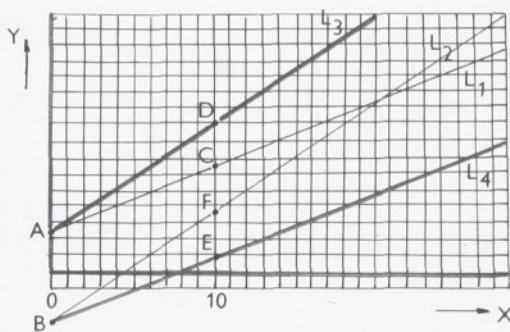
### 2.3.3.1 Konstrukce testovacího diagramu

Konstrukce je zřejmá z obr. 3. Kreslí se na čtverečkový papír tak, že na osu  $x$  se nanáší počet všech rozdílů výsledků a na osu  $y$  počet rozdílů se znamenkem +.

Do celkového počtu se berou ovšem jen ty výsledky, u nichž se může prokázat, že jejich vzájemná diference nepřesahuje dovolenou diferenci dvou paralelních stanovení /11/.

Hodnoty  $h_1$  a  $h_2$  jsou úseky na ose  $y$  nad a pod osou  $x=0$ , hod-

Obr.3. Testovací diagram pro sekvenční analýzu



noty  $s_1$  a  $s_2$  jsou úseky pro  $x=10$  nad  $h_1$  a  $h_2$ .

Přímky, tvořící testovací diagram, jsou dány dvojicemi bodů:

přímka  $L_1$  bodem A  $(0; h_1)$  a bodem C  $(10; h_1 + s_1)$

přímka  $L_2$  bodem B  $(0; -h_2)$  a bodem F  $(10; -h_2 + s_2)$

přímka  $L_3$  bodem A  $(0; h_1)$  a bodem D  $(10; h_1 + s_2)$  a

přímka  $L_4$  bodem B  $(0; -h_2)$  a bodem E  $(10; -h_2 + s_1)$ .

V obr.3. je zakreslena konstrukce pro tyto hodnoty:

$$\Delta = B = 0,05 ; p_A = 0,25 ; p_B = 0,75 ; s_1 = 3,7 ; s_2 = 6,3 ; h_1 = h_2 = 2,7 .$$

### 2.3.3.2 Vlastní testování diagramu pro sekvenční analýzu

Postup při testování:

1. Získaný výsledek se zakreslí do diagramu tak, že se začíná v počátku a vodorovnou úsečkou o délce rovnej straně čtverečku, nanesenou doprava, se označí výsledek se záporným rozdílem a úhlopříčkovou úsečkou přes čtvereček vpravo nahoru se označí výsledek s rozdílem kladným.
2. Tímto způsobem se pokračuje tak dlouho, až lomená čara, která při tom vzniká, protne nekterou přímku omezující diagram.
3. Protne-li přímku  $L_4$ , může se prohlásit, že kladné rozdíly se vyskytují s četností  $p_A$ , protne-li přímku  $L_3$ , vyskytuje se kladné rozdíly s četností  $p_B$  a v obou případech se zkoušená metoda zamí-

tá, jakožto nerovnocenná s metodou "standardní". Protně-li lomená čára přímku  $L_1$  i  $L_2$  a pronikne do střední části diagramu, přijímá se sledovaná metoda jako rovnocenná se "standardní" metodou.

4. Dokud lomená čára neprotnězádnou z přímek omezujičích diagram, je počet výsledků příliš malý pro spolehlivé rozhodnutí a musí se počítat v provádění analýz.

Správnost experimentální metody se tedy oveří sekvenční analýzou. Pro zjištění přesnosti je nutné použít dalších statistických metod.

#### 2.3.4.0 Ověřování přesnosti experimentálních metod

Zajima nás, jaký je vztah mezi skutečnou hodnotou a hodnotou, kterou jsme získali ověřovanou metodou. Proto se v této kapitole budeme zabývat otázkami spojenými s vyšetřováním vzájemného vztahu mezi proměnnými a jeho vyjadřováním pomocí přímky, proložené napořovanými daty.

Zcela obecně je třeba odlišovat funkční závislost mezi dvěma proměnnými (každé hodnotě nezávislé proměnné  $x$  odpovídá jediná hodnota závislé proměnné  $y$ ) od stochastické závislosti (každé hodnotě nezávisle proměnné  $x$  odpovídá celé pravděpodobnostní rozdelení závisle proměnné veličiny  $y$  se střední hodnotou  $E(y)$ ).

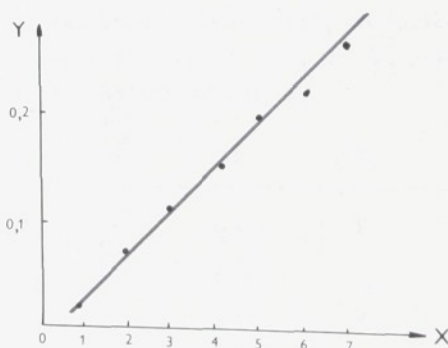
Vzájemný vztah mezi dvěma proměnnými s funkční závislostí se řeší metodou korelačního počtu. Pro stochastickou závislost se používá regresní analýza.

Je zrejmé, že tam, kde se určuje jedna z veličin (obvykle závisle proměnná  $y$ ) pokusně, tj. měřením, půjde vlivem pokusných chyb vždy o závislost stochastickou. O stochastickou závislosti půjde i tendy, buď-li nezávisle proměnná  $x$  tuky hodnotou, zjištovanou pokusně, ale může-li se předpokládat, že je určena bez chyby nebo s chybou podstatně menší, než závisle proměnná  $y$ .

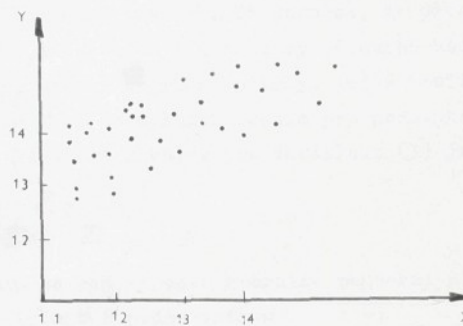
#### 2.3.4.1 Regresní analýza /14/

Máme-li dvě proměnné,  $x$  a  $y$ . Při regresní analýze jedna z nich se považuje za nezávisle proměnnou (obvykle se značí  $x$ ), druhá za závisle proměnnou (značíme  $y$ ). Každě mu  $x$  odpovídá určité rozdělení hodnot proměnné  $y$ .

Jako výsledek každého pozorování (měření) se dostane dvojice hodnot, kterou bude tvořit jeden výsledek pozorování nezávisle proměnné  $x$  a jeden výsledek pozorování závisle proměnné  $y$ . Údaje se znázorní graficky. Každě dvojici hodnot odpovídá na tzv. korelačním diagramu příslušný bod  $(x_i, y_i)$ . Seskupení bodů na korelačním diagramu nám pak naznačuje povahu závislosti mezi proměnnými. Povaha může být jasne lineární (obr. 4.) a grafické vyjádření tohoto vztahu približným zakreslením přímky od oka by nám nečinilo potize. Zakreslení krivky, která by měla vyjadřovat vztah mezi  $x$  a  $y$  v obr. 5., by nebylo tak sndné jako v prvém případě. Ze seskupení bodů na korelačním diagramu lze říci, že závislost je v daném rozsahu hodnot  $x$  približně lineární, avšak při jakémkoliv pokusu zakreslit přímku od oka bychom se pravděpodobně dopustili značně chyby. Zároveň si však můžeme položit otázku, zda nějaká závislost vůbec existuje, a jestliže ano, jak je velká. Je zřejmé, že bude v tomto případě potřebná přesnější metoda k tomu, abychom mohli tyto otázky zodpovědět a vyjádřit závislost mezi oběma proměnnými.



Obr. 4. Korelační diagram



Obr. 5. Korelační diagram

Budeme předpokládat, že mezi promennými bude lineární závislost tvaru

$$y = a + b \cdot x \quad (3)$$

kde  $y$  je závisle a  $x$  nezávisle promenná veličina,  $a$  a  $b$  jsou koeficienty. Spolehlivě se mohou tyto koeficienty určit se zřetelem na chyby závislé promenné  $y$  na základě tzv. principu maximální věrohodnosti pro normalně rozdělené promenné, který vede k určení přímky pro regresy  $y$  na  $x$ . Vliv nahodných chyb je na základě tohoto principu vyrovnaný tím, že se minimalizuje součet čtverců odchylek jednotlivých bodů od regresní přímky. Je to tzv. metoda nejménších čtverců. Nejlépe se určí koeficienty rovnice (3), sestaví-li se výsledky měření podle dále uvedeného schématu /10/, kde se předpokládá vždy jen jedna hodnota  $y_i$  pro každou hodnotu  $x_i$

i	$x_i$	$y_i$	$x_i^2$	$x_i \cdot y_i$	$\bar{Y}_i$	$y_i - \bar{Y}_i$	$(y_i - \bar{Y}_i)^2$
1	$x_1$	$y_1$	$x_1^2$	$x_1 \cdot y_1$	$\bar{Y}_1$	$y_1 - \bar{Y}_1$	$(y_1 - \bar{Y}_1)^2$
2	$x_2$	$y_2$	$x_2^2$	$x_2 \cdot y_2$	$\bar{Y}_2$	$y_2 - \bar{Y}_2$	$(y_2 - \bar{Y}_2)^2$
*	*	*	*	*	*	*	*
*	*	*	*	*	*	*	*
n	$x_n$	$y_n$	$x_n^2$	$x_n \cdot y_n$	$\bar{Y}_n$	$y_n - \bar{Y}_n$	$(y_n - \bar{Y}_n)^2$
	$\Sigma x$	$\Sigma y$	$\Sigma x^2$	$\Sigma x \cdot y$			$\Sigma (y - \bar{Y})^2$

V tomto schématu je  $y_i$  pokusně nalezená hodnota a  $Y_i$  je pro  $x_i$  vypočtená regresní hodnota. To znamená, že první část tabulky se sestavuje z nalezených a z nich vypočtených hodnot a druhá část teprve po určení regresní přímky, jež koeficienty se počítají řešením tzv. normálních rovnic pro podmíinku nejmenšího součtu ctverců. Normální rovnice pro závislost (3) jsou

$$\begin{aligned} a \cdot n + b \cdot \sum x - \sum y &= 0 \\ a \cdot \sum x + b \cdot \sum x^2 - \sum x \cdot y &= 0 \end{aligned}$$

Jejich řešením se pak vypočte směrnice regresní přímky nebo-li tzv. regresní koeficient  $b$  podle vztahu

$$b = \frac{\sum x \cdot \sum y - n \cdot \sum x \cdot y}{(\sum x)^2 - n \cdot \sum x^2} \quad (4)$$

Druhý koeficient  $a$ , tj. posunutí regresní přímky, se vypočte dosazením

$$\bar{y} = \frac{1}{n} \cdot \sum y \quad a \cdot \bar{x} = \frac{1}{n} \cdot \sum x$$

do vztahu (3), tedy podle rovnice

$$a = \frac{1}{n} \cdot (\sum y - b \cdot \sum x) = \bar{y} - b \cdot \bar{x} \quad (5)$$

Odhad směrodatné odchylky rozptýlení kolem regresní přímky je dán vztahem

$$s_{x,y} = \sqrt{\frac{\sum (y_i - Y_i)^2}{n-2}}, \quad (6)$$

kde  $y_i$  je pro určité  $x_i$  pokusně nalezená a  $Y_i$  regresní, tj. vypočtená hodnota závisle proměnné.

Odhad směrodatné odchylky určení regresního koeficientu  $s_b$  a posunutí  $s_a$  jsou dány vztahy

$$s_b = \frac{s_{x,y}}{\sqrt{\sum x^2 - \bar{x} \cdot \sum x}} \quad (7)$$

a

$$s_a = \sqrt{\frac{\bar{x}^2}{n \cdot \sum x^2 - (\sum x)^2}} \cdot s_{x,y} \quad (8)$$

Výpočet regresní přímky má hlavní význam v praxi proto, že umožňuje nejen zjišťovat soustavnou chybu, ale zároveň i to, zda jde o soustavnou chybu konstantní nebo o chybu proporcionalní, tj. závislou na obsahu stanovené složky.

Jde-li o závislost (3), kde  $y$  je nalezené a  $x$  dané množství stanovené složky, měly by mít v ideálním případě koeficienty regresní rovnice hodnoty  $a = 0$ ,  $b = 1$ , tj. mělo by platit, že  $y = x$ .

Je-li hodnota koeficientu  $a$  statisticky významně rozdílná od nuly, svědčí to o přítomnosti konstantní soustavné chyby. Statisticky významný rozdíl koeficientu  $b$  od jedné je důkazem proporcionalní soustavné chyby. Zjištění statistické významnosti odchylky koeficientu  $a$  od nuly a  $b$  od jedné má tedy obzvláštní význam.

Může se postupovat tak, že se vypočtou oba koeficienty metodou nejménších čtverců, směrodatné odchylky  $s_a$  a  $s_b$  a pomocí testu-t /11/ otestujeme významnost rozdílu od nuly, resp. od jedné. K otestování lze použít taky metody, kterou zavedli MANDEL a LINNING.

#### 2.3.4.2 Testování významnosti odhadu konstant regresní přímky

MANDEL a LINNING zavedli graficky snadno proveditelný testovací postup /11/. Zjistili, že hodnoty koeficientů  $a$ ,  $b$  jsou vždy slabě negativně korelovány. Narýsuje-li se obrysová elipsa pro korelační těchto dvou koeficientů, může se snadno zjistit, zda  $a = 0$  a  $b = 1$ . V tom případě leží bod pro  $a = 0$  a  $b = 1$  uvnitř obrysové elipsy. Leží-li tyto body vně elipsy, je rozdíl statisticky významný. Při konstrukci obrysové elipsy se postupuje tak, že do soustavy souřadnic pro  $a$ ,  $b$  narýsujeme obdélník se stranami

$$l_a = \sqrt{2 \cdot F \cdot s_a^2} \quad a \quad l_b = \sqrt{2 \cdot F \cdot s_b^2}$$

Hodnotu  $F$  najdeme v tabulkách SNEDECOROVÁ rozdělení pro  $\nu_1 = 2$  a pro  $\nu_2 = n-2$  a pro zvolenou hodnotu  $\alpha$  (viz.tab.8).

Nyní se od středu na obě strany vynese svisle vzdálenost

$$d_b = \sqrt{4 \cdot z \cdot s_{x,y}^2 \cdot F / \sum x^2 \cdot z_x^2},$$

kde  $z = \sqrt{\sum x^2}$ , a vodorovně se nanese vzdálenost

$$d_a = d_b \cdot l_a / l_b$$

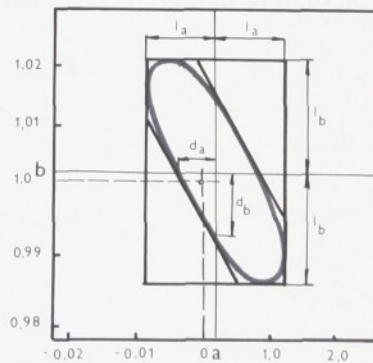
Elipsa se pak již snadno zakreslí tak, jak je naznačeno na obr.6. Protíná-li vodorovná přímka pro  $b = 1$  elipsu, není přítomna proporcionalní chyba. Protíná-li ji svislá přímka pro  $a = 0$ , není přítomna chyba konstantní. Leží-li bod pro  $a = 0$  a pro  $b = 1$  uvnitř elipsy, není přítomna zádná soustavná chyba.

Použije-li se k testování testu-t /14/, vychází se z těchto vztahů:

$$t = \frac{a - a_0}{s_a} \quad a \quad t = \frac{b - b_0}{s_b}, \quad (9)$$

kde  $a$ ,  $b$  jsou konstanty regresní přímky;  $a_0$ ,  $b_0$  jsou hodnoty, které by měly mít v ideálním případě koeficienty regresní rovnice, tj.  $a_0 = 0$ ,  $b_0 = 1$ . Odvození těchto vztahů je provedeno v /14/.

Z tabulek rozdělení-t (viz. tab.7) pro  $(n-2)$  stupňů volnosti a pro zvolenou hladinu významnosti  $\alpha$  najde se tzv.  $t_k$ . Porovná-li se kritická hodnota  $t_k$  a t a plati-li, že  $t < t_k$ , může se v odhadované rovnici přímky zanedbat konstanta  $a$ , popřípadě i  $b$ .



Obr. 6. MANDELOVA a LINNINGOVA metoda

### 2.3.5.0 Intervaly spolehlivosti hodnot na odhadované regresní přímce /14/

Nejlepším odhadem hodnot na regresní přímce je rovnice (3), jak již bylo uvedeno.

Uvažujeme-li se nyní určitá hodnota  $y_p$  potom odhad směrodatné odchylky hodnot na regresní přímce se vypočítá podle vztahu:

$$s_{y_p} = s_{x,y} \cdot \sqrt{\frac{1}{n} + \frac{(y_p - \bar{y})^2}{\sum (y_i - \bar{y})^2}} \quad (10)$$

Interval spolehlivosti pro hodnoty ležící na regresní přímce se vypočítá podle vztahu:

$$y_p - t_{\alpha} \cdot s_{y_p} \leq y_p \leq y_p + t_{\alpha} \cdot s_{y_p}, \quad (11)$$

kde  $t_{\alpha}$  je kritická hodnota rozdelení-t s  $(n - 2)$  stupni volnosti (tab. 7) pro zvolené  $\alpha$ .

$\gamma_p$  je interval spolehlivosti, který kryje se zvolenou pravděpodobností skutečnou hodnotu odhadovaného parametru.

Nyní můžeme dosazováním různých hodnot  $y_p$  vypočítat meze. Stanovili se tedy 95%-ní interval spolehlivosti, tento pokryje s pravděpodobností 0,95 skutečnou hodnotu odhadovaného parametru.

Je třeba si uvedomit, že pro každé zvolené  $y_p$  dostane se samostatný odhad  $s_{y_p}$ .

## 2.4.0 Závěr teoretické části

Literární průzkum byl zaměřen na studium struktury pojencích textilií a na stávající metody, používané k jejímu zjišťování. Vedle metod popisných (2.2.2) existují metody, které vyjadřují strukturu pojencích textilií kvantitativně.

Jsou to:

A-metoda stanovení volných úseků vláken mezi spoji (2.2.1)

B-metoda stanovení povrchu vláken zasaženého pojivem (2.2.3)

Metoda A je velmi pracná, a proto se ke zjišťování struktury pojencích textilií nejvíce používá metody B.

Povrch vláken zasažený pojivem se dá stanovit metodou selektivního barvení. Tato metoda je založena na rozdílných sorpčních viastnostech různých dvojic vlákno-pojivo. Barví se vzorek pojene textilie a nepropojeného vlákenného materiálu. Vzorky pojene textilie přijímají z barvici lázně barvivo nepřímo úměrně velikosti plochy vláken zasažené pojivem, a to za předpokladu, že barvivo je afinní pouze k vláknům a na pojivu barvení nevykazuje. Rozdíl v množství ulpělého berviva na vláknech obou vzorků se určí kolorimetrickou metodou. Rozdíl, vyjádřený jako podíl množství barviva nacházejícího se na vláknech nepojeného vlákenného materiálu je roven číselnému zlomovoručtu vláken zasaženého pojivem "z".

Je-li sledovaná jedna dvojice vlákno-pojivo, může hodnota podílu povrchu vláken zasaženého pojivem "z" sloužit jako srovnávací parametr pojencích textilií daného typu [5].

Ke zjištění přesnosti a správnosti stanovení parametru "z" kolorimetrickou metodou je třeba provést pečlivý matematickostatistický rozbor výsledků, které touto metodou získáme.

Proto byl v další části literární průzkumu zaměřen na matematickostatistické metody (testy), používané k hodnocení přesnosti a reproducitelnosti experimentálních metod.

Z metod, hodnotících správnost se jako nejvýhodnější ukázala sekvenční analýza, která nejenže určí, zda je použití kolorimetrické metody oprávněné, ale na rozdíl od ostatních testů, že nebude provedeno více měření (stanovení), než je nezbytně nutné ke spolehlivým závěrům.

Pro ověření přesnosti kolorimetrické metody je nutné použít jiných



lené hodnoty  $\Delta$ ,  $B$ ,  $h_1$ ,  $h_2$ ,  $s_1$ ,  $s_2$ .

Jestliže bude učiněn závěr, že kolorimetrická metoda je správná, přistoupíme k ověřování její přesnosti. K tomu bude použito další matematickostatistiké metody, tzv. regresní analýzy. Pomocí ní bude vyšetřena povaha vzájemného vztahu mezi  $z_1$  a  $z_2$ . Vztah bude matematicky vyjádřen rovnici regresní přímky, která nám umožní zjistit nejen soustavnou chybu metody, ale zároveň i to, zda jde o soustavnou chybu konstantní nebo proporcionální.

Tuto skutečnost lze zjišťovat testováním významnosti odhadu konstant regresní přímky (2.3.4.2).

K testování bude použito jak metody MENDELA a LINNINGA, tak i testu (pro kontrolu).

Závěrečná část bude obsahovat celkové zhodnocení experimentální práce. Závěry budou aplikovány na poloprovozně vyráběné textilii složení POP-PAD.

3.0.0 EXPERIMENTÁLNÍ ČÁST





Od 25-té minuty barvení již zůstávala koncentrace barviva na vlasích približně stejná. Jako čas barvení proto byla zvolena doba 25-ti minut. Vliv doby barvení na koncentraci barviva na PAD vlasích byl zpracován graficky viz. obr. 7.

Barvení proběhlo při podmínkách:

teplota barvení	70 °C
doba barvení	1 500 sec
délka lázne	1:30
procento vybarvení	0,05 %

### 3.3.2.2 Vybarvování pojene textile

Byly barveny vzorky pojene textile a vlákenného materiálu o rozměrech 60 x 60 mm. Množství barviva bylo stanoveno z barvitelného podílu vzorku, tj. z hmoty PAD vláken. Při výběru podmínek barvení bylo použito zkušenosti z předchozích diplomových prací /17/.

Podmínky barvení:

teplota barvení	70 °C
doba barvení	1 500 sec
délka lázne	1:200
procento vybarvení	2 %

### 3.4.0 STANOVENÍ PARAMETRU "z"

Pro vlastní měření bylo nejprve nutno stanovit absorpcní maximum a kalibrační přímku použitého barviva.

### 3.4.1 Stanovení absorpcního maxima

U připraveného roztoku o koncentraci  $c = 0,01 \text{ kg} \cdot \text{m}^{-3}$  byly zjištovány moduly absorbance  $m$  při různých vlnových délkách  $\lambda$ , viz. tab. 2.

Tabuľka 2  
Závislosť modulu absorbance na vlnové délce

$\lambda / \mu\text{m} /$	580	585	590	595
$m / m^{-1} /$	$0,180 \cdot 10^2$	$0,188 \cdot 10^2$	$0,190 \cdot 10^2$	$0,189 \cdot 10^2$

Absorpční maximum pro ALIZARINOVOU MODŘ B je  $590 \mu\text{m}$ . V této oblasti byly proměřovány moduly absorbancí zbytkových koncentrací lázní po barvení.

#### 3.4.2 Stanovení kalibrační přímky

Stanovení bylo provedeno dle (2.2.3.3). Byly zjisteny moduly absorbance řady standardních roztoků o známé koncentraci. Metodou nejménších čtverců byla určena závislost modulu absorbance na koncentraci barvícího roztoku.

Tabuľka 3  
Závislosť modulu absorbance na koncentraci barvícího roztoku

n	$c_i \cdot m_i / \text{kg} \cdot \text{m}^{-3} /$	$m_i / \text{m}^{-1} /$	$c_i^2$	$c_i \cdot m_i$
1	0,008	$0,130 \cdot 10^2$	$0,064 \cdot 10^{-3}$	$1,040 \cdot 10^{-1}$
2	0,007	$0,112 \cdot 10^2$	$0,049 \cdot 10^{-3}$	$0,784 \cdot 10^{-1}$
3	0,006	$0,097 \cdot 10^2$	$0,036 \cdot 10^{-3}$	$0,582 \cdot 10^{-1}$
4	0,005	$0,086 \cdot 10^2$	$0,025 \cdot 10^{-3}$	$0,430 \cdot 10^{-1}$
5	0,004	$0,068 \cdot 10^2$	$0,016 \cdot 10^{-3}$	$0,272 \cdot 10^{-1}$
6	0,003	$0,050 \cdot 10^2$	$0,009 \cdot 10^{-3}$	$0,150 \cdot 10^{-1}$
7	0,002	$0,040 \cdot 10^2$	$0,004 \cdot 10^{-3}$	$0,080 \cdot 10^{-1}$
$\Sigma$	0,035	$0,583 \cdot 10^2$	$0,203 \cdot 10^{-3}$	0,333 8

Při výpočtu dosazujeme do vztahů:

$$E_s \cdot \sum c_i^2 + g \cdot \sum c_i = \sum c_i m_i$$

$$\begin{aligned}\mathcal{E}_s \cdot \sum c_i + g \cdot n &= \sum m_i \\ \mathcal{E}_s \cdot 0,230 \cdot 10^{-3} + g \cdot 0,035 &= 0,333 \cdot 8 \\ \mathcal{E}_s \cdot 0,035 + g \cdot 7 &= 58,3\end{aligned}$$

Riešením byla získaná hodnota

$$\begin{aligned}\mathcal{E}_s &= 15,107 \cdot 10^{-2} \quad /m^3 \cdot kg^{-1} \cdot m^{-1} / \\ g &= 0,770\end{aligned}$$

Rovnice kalibrační přímky :

$$m = 1510,7 \cdot c + 0,770$$

Její grafický záznam je na obr. 8.

### 3.4.3 Vzorový výpočet parametrů "z"

Výpočet bude proveden pro pehoprovozné vyrobenou pojencou textilií. (POP-PAD)

Podmínky při barvení:

- délka lázne 1:200
- teplota barvení 70°C
- doba barvení 1 500 sec
- procento vybarvení 2 %

A-výpočet pro pojedený vzorek:

- Hmotnost pojedeného vzorku  $g = 1,095 \cdot 10^{-3} \text{ kg}$
- Obsah pojiva  $p_0 = 30 \%$
- Barvitelný podíl  $b_p = (1 - p_0 \cdot 10^{-2}) / \text{kg} /$   
 $b_p = 1,095 \cdot 10^{-3} \cdot (1 - 10^{-2} \cdot 30) = 0,7665 \cdot 10^{-3} \text{ kg}$
- Výpočet složení barvici lázně:  
1/ Množství barviva  $b_1 / \text{kg} / : \quad b_1 = \frac{b_p \cdot p}{100}$

$$b_1 = \frac{0,7665 \cdot 10^{-3} \cdot 2}{100} = 0,0153 \cdot 10^{-3} \text{ kg}$$

2/ Množství zásobního roztoku barviva X /m<sup>3</sup>/:

$$X = \frac{b_1 \cdot V_0}{m_0}$$

Zásobní roztok měl koncentraci  $m_0 / V_0 = 1 \text{ kg} \cdot \text{m}^{-3}$

$$X = \frac{0,0153 \cdot 10^{-3}}{1} = 15,33 \cdot 10^{-6} \text{ m}^3$$

3/ Množství barvici lázně  $V / \text{m}^3$ :

Délka lázně 1:200

$$V = b_p \cdot 200$$

$$V = 0,7665 \cdot 10^{-3} \cdot 200 = 153,3 \cdot 10^{-3} \text{ kg} = 153,3 \cdot 10^{-6} \text{ m}^3$$

4/ Množství kyseliny octové 3% ni  $K / \text{m}^3$

$$K = V - X$$

$$K = 153,3 \cdot 10^{-6} - 15,33 \cdot 10^{-6} = 137,97 \cdot 10^{-6} \text{ m}^3$$

Po barvení byla lázeň nalita do 500 ml baňky, doplněna destilovanou vodou po rysku. Byl zjištěn modul absorbance této roztoku.

- Modul absorbance  $m = 0,31 \cdot 10^2 \text{ m}^{-1}$

- Zbytková koncentrace po barvení byla určena ze vztahu

$$c' = \frac{m - g}{E_s} / \text{kg} \cdot \text{m}^{-3} /$$

$$c' = \frac{0,31 \cdot 10^2 - 0,771}{1510,7} = 0,02 \text{ kg} \cdot \text{m}^{-3}$$

- Množství barviva v lázni po barvení  $b_2 / \text{kg} / :$

$$b_2 = c' \cdot 500 \cdot 10^{-6} = 0,02 \cdot 500 \cdot 10^{-6} = 10,0045 \cdot 10^{-6} \text{ kg}$$

( množství roztoku 500 ml)

- Spotřeba barviva, tj. množství barviva na vláknech  $\Delta b / \text{kg} / :$

$$\Delta b = b_1 - b_2$$

$$b = 0,015 \cdot 33 \cdot 10^{-3} - 10,004 \cdot 5 \cdot 10^{-3} = 5,325 \cdot 5 \cdot 10^{-6} \text{ kg}$$

- Koncentrace barviva na vláknech pojeného vzorku  $c_v / \text{kg} \cdot \text{kg}^{-1}$

$$c_v = \frac{\Delta b}{b_p}$$

$$c_v = \frac{5,325 \cdot 5 \cdot 10^{-6}}{0,766 \cdot 5 \cdot 10^{-3}} = 6,946 \cdot 8 \cdot 10^{-3} \text{ kg} \cdot \text{kg}^{-1}$$

B- Výpočet pro nepojený vzorek :

- Hmotnost vzorku  $g = 0,498 \cdot 7 \cdot 10^{-3} \text{ kg}$

Protože je obsah pojiva nulový, platí  $g = b_p$

- Výpočet barvici lázne:

1/ Množství barviva  $b_1 / \text{kg} / :$

$$b_1 = \frac{0,498 \cdot 7 \cdot 10^{-3} \cdot 2}{100} = 0,009 \cdot 97 \cdot 10^{-3} \text{ kg}$$

2/ Množství zásobního rezantu barviva  $x / \text{m}^3 / :$

$$x = \frac{0,009 \cdot 97 \cdot 10^{-3}}{1} = 9,974 \cdot 10^{-6} \text{ m}^3$$

3/ Množství barvici lázne  $V / \text{m}^3 / :$

$$V = 0,498 \cdot 7 \cdot 10^{-3} \cdot 200 = 99,740 \cdot 10^{-3} \text{ kg} = 99,740 \cdot 10^{-6} \text{ m}^3$$

4/ Množství kyseliny octové 3%-ni  $K / \text{m}^3 / :$

$$K = 99,74 \cdot 10^{-6} - 9,974 \cdot 10^{-6} = 89,766 \cdot 10^{-6} \text{ m}^3$$

- Zbytková koncentrace po barvení  $c / \text{kg} \cdot \text{m}^{-3} / :$

$$c = \frac{m - K}{E_s} = \frac{0,16 \cdot 10^2 - 0,771}{1 \cdot 510,7} = 0,010 \text{ l} .$$

- Množství barviva v lázni po barvení  $b_2 / \text{kg} / :$

$$b_2 = 0,010 \cdot 1 \cdot 10^{-3} \cdot 0,5 = 5,040 \cdot 10^{-6} \text{ kg}$$

- SPotřeba barviva  $\Delta b$  /kg/ :

$$\Delta b = b_1 - b_2 = 9,974 \cdot 10^{-6} - 5,040 \cdot 10^{-6} = 4,934 \cdot 10^{-6} \text{ kg}$$

- Koncentrace barviva na vláknech  $c'_v$  /kg.kg<sup>-1</sup>/ :

$$c'_v = \frac{-b}{b_p} = \frac{4,934 \cdot 10^{-6}}{0,4987 \cdot 10^{-3}} = 9,894 \cdot 10^{-3} \text{ kg.kg}^{-1}$$

- Číselny zlomek povrchu vláken zasaženého pojivem z /%/ :

$$z = \left( 1 - \frac{c_v}{c'_v} \right) \cdot 100$$

Abycom dosáhli co nejpřesnejšího výsledku, byla vzata pro výpočet parametru "z" hodnota  $c'_v$ , získaná jako prumer z pěti měření.

$$\bar{c}'_v = 10,279 \cdot 10^{-3} \text{ kg.kg}^{-1}$$

$$z = \left( 1 - \frac{6,9478 \cdot 10^{-3}}{10,279 \cdot 10^{-3}} \right) \cdot 100 = 32,41 \%$$

Výsledky jsou uvedeny v tabucléce 5a, 5b

### 3.5.0 POUŽITÍ SEKVENČNÍ ANALÝZY

#### 3.5.1 Sestrojení diagramu pro sekvenční analýzu

Sestrojení diagramu bylo provedeno dle (2.3.3.1). Byly zvoleny hodnoty  $\alpha = \beta = 0,05$ ;  $p_A = 0,3$ ;  $p_B = 0,7$ . K témté hodnotám byly v tab. 1 nalezeny příslušné hodnoty  $s_1$ ;  $s_2$ ;  $h_1$ ;  $h_2$ .

Graf (obr. 9) byl potom sestrojen pro hodnoty:

$$h_1 = h_2 = 3,5; s_1 = 4,0; s_2 = 6,0$$

druhý režim

#### 3.5.2 Testování diagramu pro sekvenční analýzu

Vypočítali jsme  $d$  (tj. rozdíly z namer. a z skuteč.) Výpočty

jsou uvedeny v (tab. 4.b)

Získany výsledek (tj. znaménko + nebo -) byl vynášen do testovacího diagramu (obr. 9)

Lomená čára pronikla do střední části diagramu a protla přímku  $L_1$  i  $L_2$  při 24-tém měření. Na zakladě této skutečnosti byl učinen závěr, že kolorimetrické stanovení parametru "z" je správné.

Bylo možno přistoupit k ověření přesnosti metody použitím regresní analýzy.

### 3.6.0 REGRESNÍ ANALÝZA

Jako výsledek každého měření jsme získali dvojici hodnot  $x_1$  a  $x_2$  ( tj.  $z_{\text{naměřené}}$  a  $z_{\text{skutečné}}$ ). Tyto hodnoty byly seřazeny podle schématu uvedeného v odstavci (2.3.4.1) viz. (tab. 6)

Za hodnoty nezávisle promenné  $x$  jsme považovali  $z_{\text{skutečné}}$  a za závisle promennou  $y = z_{\text{naměřené}}$ .

Potom jsme vypočítali odhady konstant  $a$  a  $b$ . Hodnota  $a$  je odhadem systematické chyby, proto jsme testovali hypotézu, že systematická chyba neexistuje, tedy  $a = 0$ .

Vypočtená hodnota  $b$  je odhadem koncentrační závislosti kolorimetrické metody (tj. závislosti na množství "z"). Testovali jsme obdobně hypotézu, že koncentrační závislost neexistuje, čili že  $b = 1$ .

Tento rozbor nam poskytl potřebné a spolehlivé informace o kolorimetrické metodě stanovení parametru "z".

#### 3.6.1 Výpočet konstant regresní přímky

Odhad  $b$  byl vypočítán podle (4) :

$$b = \frac{\sum x_i \cdot \sum y_i - n \cdot \sum x_i \cdot y_i}{(\sum x_i)^2 - n \cdot \sum x_i^2} = \frac{884,07 \cdot 923,63 - 24 \cdot 44 \cdot 810,57}{781\ 579,76 - 24 \cdot 44 \cdot 378,47} =$$

$$= 0,913 \ 3$$

$$b = 0,913 \ 3$$

Odhad  $a$  se vypočítal podle vztahu (5) :

$$a = \frac{1}{n} \cdot (\Sigma y - b \cdot \Sigma x) = \frac{1}{24} \cdot (923,62 - 0,913 \cdot 2 \cdot 884,07) =$$

$$= 4,84$$

$$a = 4,84$$

Pomoci vztahu (6) z kapitoly (2.3.4.1) byl vypočítán odhad rozptylu kolem regresní přímky :

$$s_{x,y}^2 = \frac{\sum (y_i - \bar{y}_i)^2}{n - 2} = \frac{656,452}{22} = 29,84$$

Potom směrodatná odchylka :

$$s_{x,y} = \sqrt{s_{x,y}^2} = 5,48$$

Rovnice regresní přímky :

$$\bar{y}_i = 4,84 + 0,913 \cdot 2 \cdot x_i$$

Každé dvojici výsledků odpovídá na regresní přímce jeden bod. Znázornili jsme si všech 24 dvojic výsledků do grafu (obr.10) a proložili jsme vynesenými body vypočtený odhad regresní přímky

$$\bar{y}_i = 4,84 + 0,913 \cdot 2 \cdot x_i ,$$

který vyjadřuje vztah mezi  $\bar{z}$  skutečným a  $\bar{z}$  naměřeným \*

Z průběhu regresní přímky (obr.10) jsme usoudili, že metoda je zatížena soustavnou proporcionalní chybou, neboť asi do 50 % parametru "z" dává výsledky vysší, než jsou hodnoty skutečné.

Platnost tohoto závěru bylo nutno ověřit testováním

### 3.6.2 Použití t-testu

Testovali jsme hypotézu, že  $a = 0$  a  $b = 1$ . Vypočítali jsme nejprve odhady směrodatných odchylek  $s_a$  a  $s_b$  z výrazu (7) a (8) v kapitole (2.3.4.1) :

$$s_a = \sqrt{\frac{\sum x^2}{n \cdot \sum x^2 - (\sum x)^2}} \cdot s_{x,y}$$

$$s_a = 5,48 \cdot \sqrt{\frac{44 \cdot 378,47}{24 \cdot 44 \cdot 378,47 - 781 \cdot 579,76}} = 2,35$$

a

$$s_b = \frac{s_{x,y}}{\sqrt{\Sigma x^2 - \bar{x} \cdot \Sigma x}} = \frac{5,48}{\sqrt{44 \cdot 378,47 - 884,07 \cdot 36,84}} = \\ = 0,050 \text{ l}$$

$\bar{x}$  je průmerná hodnota z naměřených hodnot x

Potom jsme stanovili hodnoty výrazů :

$$|t_a| = \frac{a - a_0}{s_a} \quad a \quad |t_b| = \frac{b - b_0}{s_b} \quad ,$$

kde  $a_0$  a  $b_0$  jsou hodnoty, které by měly mít v ideálním případě koeficienty regresní rovnice, tj.  $a_0 = 0$ ,  $b_0 = 1$ , dosazením jsme získali:

$$t_a = \frac{4,84}{2,35} = 2,059$$

$$t_b = \frac{0,913 \cdot 2 - 1}{0,050} = 1,74$$

Z tabulek rozdělení  $t$  (tab. 7) jsme zjistili, že pro  $\alpha = 0,05$ , pro stupeň volnosti  $V = 22$  je  $t_k = 2,069$ .

Jelikož  $t_k > t_a$  i  $t_k > t_b$ , nezamítli jsme hypotézu, že  $a = 0$ ,  $b = 1$  a učinili jsme na základě toho závér, že rozdíl hodnot  $a$  od nuly a  $b$  od jedné můžeme zanedbat, metoda není zatížena žádnou soustavnou chybou.

Jelikož rozdíl mezi  $t_k$  a  $t_a$  je velmi malý a vlivem chyb při zaokrouhlování mohlo dojít k nepřesnostem, provedli jsme pro kontrolu testování metodou MANDELA a LINNINGA.

### 3.6.3 Testování metodou M A N D E L A a L I N N I N G A

Výpočty pro sestrojení elipsy:

- 44 -

$$l_a = \sqrt{2 \cdot F \cdot s_a^2} = \sqrt{2 \cdot 3,4 \cdot 2,35} = 5,8$$

Hodnota F byla nalezena pro  $V_1 = 2$ ,  $V_2 = 22$ ,  $\alpha = 0,05$  v tab. 8.

$$l_b = \sqrt{2 \cdot F \cdot s_b^2} = \sqrt{2 \cdot 3,4 \cdot 0,05^2} = 0,131$$

$$d_b = \sqrt{4 \cdot z \cdot s_{x,y}^2 \cdot F / \sum x^2 \cdot \sum x} = \\ = \sqrt{4 \cdot 1032 \cdot 29,84 \cdot 3,4 / 884,07 \cdot 44375,47} = 0,011$$

$$z = \sqrt{n \cdot \sum x^2} = \sqrt{24 \cdot 44378,47} = 1032,03$$

$$d_a = d_b \cdot l_a / l_b = 0,011 \cdot 5,8 / 0,131 = 0,48$$

Elipsa pak již byla snadno zakreslena (obr. 11.).

Bod A pro  $a = 0$  a pro  $b = 1$  leží uvnitř elipsy, což je důkaz o tom, že metoda není zatížena žádnou soustavnou chybou. Tím byl ověřen závěr testu-t, který je proto správný.





Tabuľka. 4 a

Plôcha vláken zasažená pojiven - výpočet koncentrácie barviva na vláknech u nepojedených PAD vlasčí.

i	hmotnosť barvitelného podílu $b_0$ / kg /	množství barviva v lázni $b_1$ / kg /	Modul absorbance m / m <sup>-1</sup> /	Koncentráce barviva v lázni po barvení c / kg • m <sup>-3</sup> /	Koncentráce barviva na vláknech vzor. $b_2$ / kg /	množství barviva na vláknech vzor. $b_2'$ / kg /	Koncentráce barviva na vláknech vzorku $c_V$ / kg • kg /
1	$0,7263 \cdot 10^{-3}$	$0,3632 \cdot 10^{-6}$	$0,033 \cdot 10^2$	$0,001 \cdot 67$	$0,279 \cdot 10^{-6}$	$0,384 \cdot 10^{-3}$	
2	$0,72065 \cdot 10^{-3}$	$0,2503 \cdot 10^{-6}$	$0,030 \cdot 10^2$	$0,001 \cdot 47$	$0,2065 \cdot 10^{-6}$	$0,3971 \cdot 10^{-3}$	
3	$0,7141 \cdot 10^{-3}$	$0,3570 \cdot 10^{-6}$	$0,032 \cdot 10^2$	$0,001 \cdot 61$	$0,27665 \cdot 10^{-6}$	$0,3874 \cdot 10^{-3}$	
4	$0,7272 \cdot 10^{-3}$	$0,3636 \cdot 10^{-6}$	$0,036 \cdot 10^2$	$0,001 \cdot 87$	$0,2700 \cdot 10^{-6}$	$0,3713 \cdot 10^{-3}$	
5	$0,7159 \cdot 10^{-3}$	$0,3580 \cdot 10^{-6}$	$0,031 \cdot 10^2$	$0,001 \cdot 54$	$0,26095 \cdot 10^{-6}$	$0,3924 \cdot 10^{-3}$	
6	$0,72095 \cdot 10^{-3}$	$0,3605 \cdot 10^{-6}$	$0,036 \cdot 10^2$	$0,001 \cdot 87$	$0,2669 \cdot 10^{-6}$	$0,3702 \cdot 10^{-3}$	
						$\Sigma$ $2,3024 \cdot 10^{-3}$	
						$\varphi$ $0,38396 \cdot 10^{-3}$	

Tabuľka 4b. Plocha vláken zasažená pojivem - výpočet parametrov  $n_{Zn}$  u PAD vlastní

i	$b_p \cdot 10^{-3}$	$b_1 \cdot 10^{-3}$	$b_2 \cdot 10^{-3}$	$c \cdot 10^{-3} / \text{kg} \cdot \text{m}^{-1}$	$b_2 \cdot 10^{-6} / \text{kg} \cdot \text{m}^{-3}$	$c_{V1} \cdot 10^{-3} / \text{kg} \cdot \text{kg}$	$\bar{z}_1 \cdot 10^{-3} / \text{kg}$	$z_2 \cdot \% /$	d
1	0,715 7	0,357 8	0,070	0,004 12	0,151 6	0,211 9	44,44	50,0	-5,19
2	0,719 4	0,359 7	0,080	0,004 7	0,120 4	0,167 4	56,40	57,44	-1,04
3	0,716 3	0,358 2	0,054	0,003 06	0,205 0	0,286 1	25,46	22,76	+2,70
4	0,720 1	0,360 1	0,052	0,002 9	0,213 5	0,296 5	22,77	21,72	+1,05
5	0,715 5	0,357 8	0,038	0,002 05	0,257 5	0,359 9	6,25	7,08	-0,83
6	0,711 7	0,355 8	0,052	0,002 9	0,206 5	0,290 2	24,44	22,88	-8,47
7	0,722 4	0,361 2	0,072	0,004 2	0,148 4	0,205 4	46,48	50,63	-4,2
8	0,716 3	0,355 7	0,071	0,004 1	0,148 7	0,207 6	45,92	40,74	-2,02
9	0,724 4	0,362 2	0,077	0,004 5	0,132 9	0,183 4	52,22	56,68	-3,52
10	0,724 8	0,362 4	0,086	0,005 1	0,163 3	0,142 5	62,88	65,49	-2,61
11	0,718 2	0,359 4	0,064	0,003 7	0,172 8	0,240 6	37,34	30,15	+7,19
12	0,719 4	0,359 7	0,074	0,004 3	0,140 3	0,195 0	49,21	47,2	+1,91
13	0,745 1	0,367 6	0,046	0,002 5	0,329 0	0,322 8	15,91	10,12	+5,79
14	0,707 7	0,352 8	0,065	0,003 7	0,164 2	0,232 0	29,57	22,30	+7,27
15	0,714 9	0,357 4	0,067	0,003 2	0,194 3	0,271 7	29,22	22,37	+6,85
16	0,740 0	0,356 3	0,096	0,005 6	0,066 1	0,092 2	75,98	74,15	+1,83
17	0,706 4	0,353 2	0,085	0,005 1	0,097 4	0,137 8	64,09	57,55	+6,54
18	0,714 4	0,357 2	0,051	0,002 8	0,213 9	0,299 4	22,0	14,87	+7,13
19	0,713 2	0,356 6	0,073	0,004 3	0,140 5	0,197 1	48,67	42,65	+2,66
20	0,708 0	0,354 0	0,1	0,006 1	0,039 5	0,055 8	86,08	-0,63	
21	0,702 3	0,351 1	0,054	0,003 0	0,197 9	0,281 8	26,61	26,62	-0,01
22	0,699 6	0,349 8	0,042	0,0022	0,236 3	0,327 8	12,01	6,80	+5,79
23	0,704 0	0,352 0	0,040	0,002 1	0,245 1	0,348 2	9,31	7,58	+1,73
24	0,700 3	0,350 1	0,049	0,002 7	0,213 4	0,304 8	20,62	12,03	+8,59

Tabulka 5a - Plocha vláken zasažená pojivem → výpočet koncentrace barviva na vláknech u výrobených vzorků

i	$b_p$ /kg/	$b_1$ /kg/	m /m <sup>-1</sup> /	c /kg·m <sup>-3</sup> /	$b_2$ /kg/	$c_v$ /kg·kg <sup>-1</sup> /
1	0,498 7·10 <sup>-3</sup>	0,009 97·10 <sup>-3</sup>	0,160·10 <sup>2</sup>	0,010 1	5,040·10 <sup>-6</sup>	9,994 ·10 <sup>-3</sup>
2	0,544 6·10 <sup>-3</sup>	0,010 89·10 <sup>-3</sup>	0,163·10 <sup>2</sup>	0,010 3	5,139·10 <sup>-6</sup>	10,562 7·10 <sup>-3</sup>
3	0,645 1·10 <sup>-3</sup>	0,012 90·10 <sup>-3</sup>	0,180·10 <sup>2</sup>	0,011 4	5,702·10 <sup>-6</sup>	11,162 ·10 <sup>-3</sup>
4	0,508 5·10 <sup>-3</sup>	0,010 17·10 <sup>-3</sup>	0,161·10 <sup>2</sup>	0,010 1	5,070·10 <sup>-6</sup>	10,029 ·10 <sup>-6</sup>
5	0,484 9·10 <sup>-3</sup>	0,009 69·10 <sup>-3</sup>	0,158·10 <sup>2</sup>	0,009 9	4,970·10 <sup>-6</sup>	9,750 5·10 <sup>-6</sup>
$\Sigma$					51,398 2·10 <sup>-6</sup>	
$\varphi$					10,279 6·10 <sup>-6</sup>	

Tabulka 5b - Plocha vláken zasažená pojivem → výpočet parametru "z" u provozného výrobených vzorků

i	$g$ /kg/	$b_p$ /kg/	$b_1$ /kg/	$b_2$ /kg/	m /m <sup>-1</sup> /	$b_2$ /kg/	$c_v$ /kg·kg <sup>-1</sup> /	z /%/
1	1,095 0·10 <sup>-3</sup>	0,766 5·10 <sup>-3</sup>	0,015 3·10 <sup>-3</sup>	0,31 ·10 <sup>2</sup>	0,004 5·10 <sup>-6</sup>	6,947 8·10 <sup>-3</sup>	32,41	
2	1,221 3·10 <sup>-3</sup>	0,854 9·10 <sup>-3</sup>	0,017 1·10 <sup>-3</sup>	0,34 ·10 <sup>2</sup>	0,006 10,998	7,123 6·10 <sup>-3</sup>	30,70	
3	0,900 5·10 <sup>-3</sup>	0,630 3·10 <sup>-3</sup>	0,012 6·10 <sup>-3</sup>	0,254·10 <sup>2</sup>	8,15 ·10 <sup>-6</sup>	7,075 9·10 <sup>-3</sup>	31,12	
4	1,238 0·10 <sup>-3</sup>	0,866 6·10 <sup>-3</sup>	0,017 3·10 <sup>-3</sup>	0,349·10 <sup>2</sup>	11,295 ·10 <sup>-6</sup>	6,964 0·10 <sup>-3</sup>	32,36	
5	0,799 0·10 <sup>-3</sup>	0,559 3·10 <sup>-3</sup>	0,011 2·10 <sup>-3</sup>	0,231·10 <sup>2</sup>	7,390 ·10 <sup>-6</sup>	6,794 2·10 <sup>-3</sup>	33,91	
6	0,811 0·10 <sup>-3</sup>	0,567 7·10 <sup>-3</sup>	0,011 3·10 <sup>-3</sup>	0,238·10 <sup>2</sup>	7,620 ·10 <sup>-6</sup>	6,570 4·10 <sup>-3</sup>	36,08	
7	0,910 5·10 <sup>-3</sup>	0,637 3·10 <sup>-3</sup>	0,012 7·10 <sup>-3</sup>	0,26 ·10 <sup>2</sup>	8,350 ·10 <sup>-6</sup>	6,904 1·10 <sup>-3</sup>	32,93	
8	0,948 4·10 <sup>-3</sup>	0,662 9·10 <sup>-3</sup>	0,013 3·10 <sup>-3</sup>	0,269·10 <sup>2</sup>	8,640 ·10 <sup>-6</sup>	6,981 5·10 <sup>-3</sup>	32,09	
9	0,953 1·10 <sup>-3</sup>	0,667 2·10 <sup>-3</sup>	0,013 3·10 <sup>-3</sup>	0,271·10 <sup>2</sup>	8,710 ·10 <sup>-6</sup>	6,939 4·10 <sup>-3</sup>	32,49	
10	1,224 5·10 <sup>-3</sup>	0,857 1·10 <sup>-3</sup>	0,017 1·10 <sup>-3</sup>	0,344·10 <sup>2</sup>	11,130 ·10 <sup>-6</sup>	7,012 ·10 <sup>-3</sup>	31,79	

Tabulka 7

Ilodnoty t-rozdeleni pro  $n = 1 \div \infty$ , statistickou jistotu  $S = 95; 99; 99,9\%$  a stupen volnosti  $\nu = n-1$

$\nu$	S=95 %	S=99 %	S=99,9 %	S=95 %	S=99 %	S=99,9 %
1	12,710	63,660	636,620	13	2,160	2,010
2	4,300	9,920	31,600	14	2,150	2,980
3	3,180	5,84	12,940	15	2,130	2,950
4	2,780	4,600	8,610	16	2,120	2,920
5	2,570	4,030	6,850	17	2,110	2,900
6	2,450	3,710	5,960	18	2,100	2,880
7	2,370	3,500	5,410	19	2,090	2,860
8	2,310	3,360	5,040	20	2,090	2,850
9	2,260	3,250	4,780	21	2,080	2,831
10	2,230	3,170	4,590	22	2,074	2,819
11	2,200	3,110	4,440	23	2,069	2,807
12	2,180	3,060	4,320	24	2,064	2,797

Tabulka 8

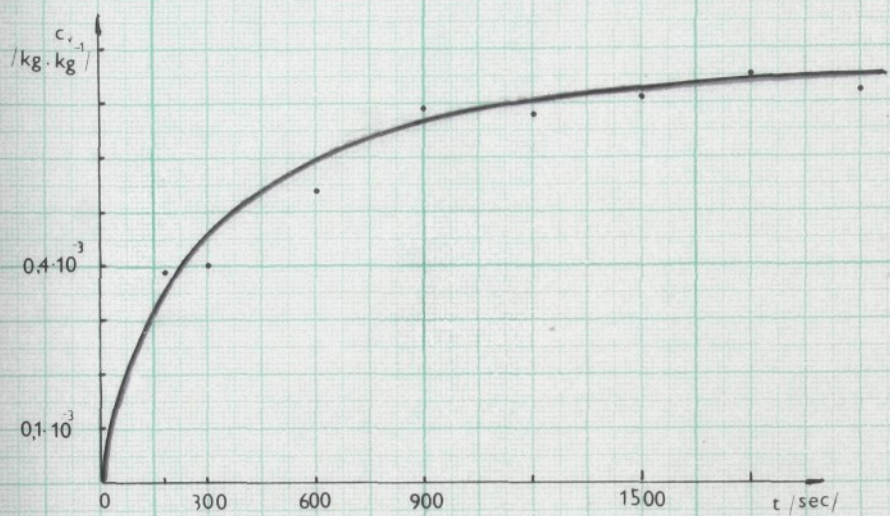
Kritické hodnoty F-rozdělení pro  $\bar{S} = 95\%$ 

$\frac{1}{k}$	1	2	3	4	5	6	8	12	24	$\infty$
1	161,4	199,5	215,7	224,6	230,2	234,0	238,9	243,9	249,0	254,3
2	18,51	19,0	19,16	19,25	19,30	19,33	19,37	19,41	19,45	19,50
3	10,13	9,55	9,28	9,12	9,01	8,94	8,84	8,74	8,64	8,53
4	7,71	6,94	6,59	6,39	6,26	6,16	6,04	5,91	5,77	5,63
5	6,61	5,79	5,41	5,19	5,05	4,95	4,82	4,68	4,53	4,36
6	5,99	5,14	4,76	4,53	4,39	4,28	4,15	4,06	3,84	3,67
7	5,59	4,74	4,35	4,12	3,97	3,87	3,73	3,57	3,41	3,23
8	5,32	4,46	4,07	3,84	3,69	3,58	3,44	3,28	3,12	2,93
9	5,12	4,26	3,86	3,63	3,48	3,37	3,23	3,07	2,90	2,71
10	4,96	4,10	3,71	3,48	3,33	3,22	3,07	2,91	2,74	2,54
11	4,84	3,98	3,56	3,36	3,20	3,09	2,95	2,79	2,61	2,40
12	4,75	3,88	3,49	3,26	3,11	3,00	2,85	2,69	2,50	2,30
13	4,67	3,80	3,41	3,18	3,02	2,92	2,77	2,60	2,42	2,21
14	4,60	3,74	3,34	3,11	2,96	2,85	2,70	2,53	2,35	2,13
15	4,54	3,68	3,29	3,06	2,90	2,79	2,64	2,48	2,29	2,07
16	4,49	3,63	3,24	3,01	2,85	2,70	2,55	2,42	2,24	2,01
17	4,45	3,59	3,10	2,96	2,81	2,70	2,55	2,38	2,14	1,96
18	4,41	3,55	3,16	2,93	2,77	2,66	2,51	2,34	2,15	1,92
19	4,38	3,52	3,13	2,90	2,74	2,63	2,48	2,31	2,11	1,88
20	4,35	3,49	3,10	2,87	2,71	2,60	2,45	2,28	2,08	1,84
21	4,32	3,47	3,07	2,84	2,68	2,57	2,42	2,25	2,05	1,81
22	4,30	3,44	3,05	2,82	2,66	2,55	2,40	2,23	2,03	1,78
23	4,28	3,42	3,03	2,80	2,64	2,53	2,38	2,20	2,00	1,76
24	4,26	3,40	3,01	2,78	2,62	2,51	2,36	2,18	1,98	1,73
25	4,24	3,38	2,99	2,76	2,60	2,49	2,34	2,16	1,96	1,71

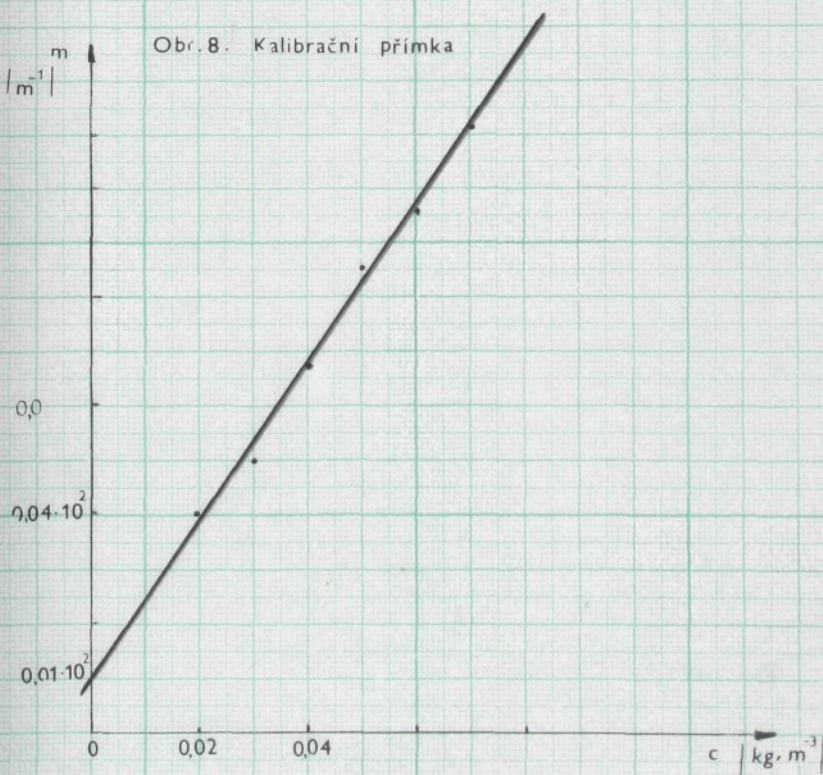
Tabulka 6 - Schéma pro výpočet koeficientů regresní přímky

i	$x_i$ (zisk)	$y_i$ (z závěř.)	$x_i^2$	$x_i \cdot y_i$	$y_i$	$/ y_i - \bar{y}_i /$	$(y_i - \bar{y}_i)^2$
1	50,00	44,61	2500,0	2440,50	50,50	5,69	3238
2	57,44	56,40	3299,35	3239,62	57,29	0,89	0,79
3	22,76	25,46	518,02	579,47	25,60	0,14	0,019
4	21,72	22,77	471,76	494,56	24,68	1,91	3,648
5	7,06	6,25	50,13	44,25	11,31	5,06	25,604
6	32,88	24,44	1081,09	803,59	34,87	10,43	108,785
7	50,66	46,46	2566,46	2355,61	51,12	4,64	21,53
8	48,77	45,92	2378,5	2239,52	49,38	3,46	11,972
9	56,66	52,22	3212,62	2959,83	56,60	4,38	19,184
10	65,49	62,88	4208,94	4118,01	64,65	1,77	3,133
11	30,15	37,34	909,02	1125,80	32,37	4,97	24,701
12	47,3	49,21	2237,29	2327,63	48,03	1,18	1,39
13	10,12	15,91	102,41	161,01	14,08	1,83	3,349
14	32,30	39,57	1043,29	1278,11	34,34	5,23	27,353
15	22,27	29,27	500,42	653,65	25,27	3,95	15,602
16	74,15	75,98	5498,22	5633,92	72,58	3,39	11,492
17	57,55	64,09	3212,00	3688,28	57,40	6,69	44,756
18	14,87	22,0	221,12	327,14	18,42	3,58	12,816
19	42,65	48,67	1019,02	2075,57	43,79	4,38	23,814
20	86,08	85,45	7355,54	7409,77	83,45	2,00	4,00
21	26,62	26,61	708,62	708,36	29,15	3,08	9,486
22	6,8	12,01	46,24	81,67	11,05	0,96	0,922
23	7,50	9,31	57,46	70,57	11,76	2,45	6,002
24	12,03	20,62	144,72	248,06	15,83	4,79	22,944
<b><math>\Sigma</math></b>	684,07	923,62	44278,47	44810,57	-	-	656,452

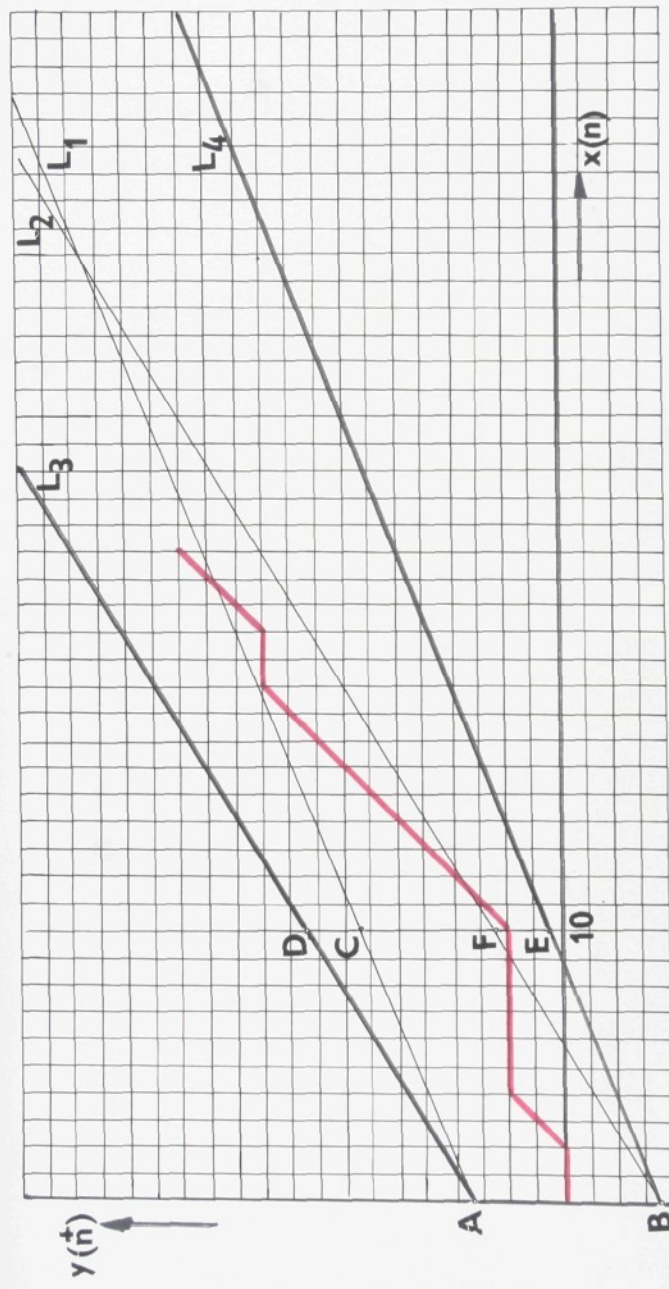
Obr. 7. Vliv doby barvení na koncentraci barviva



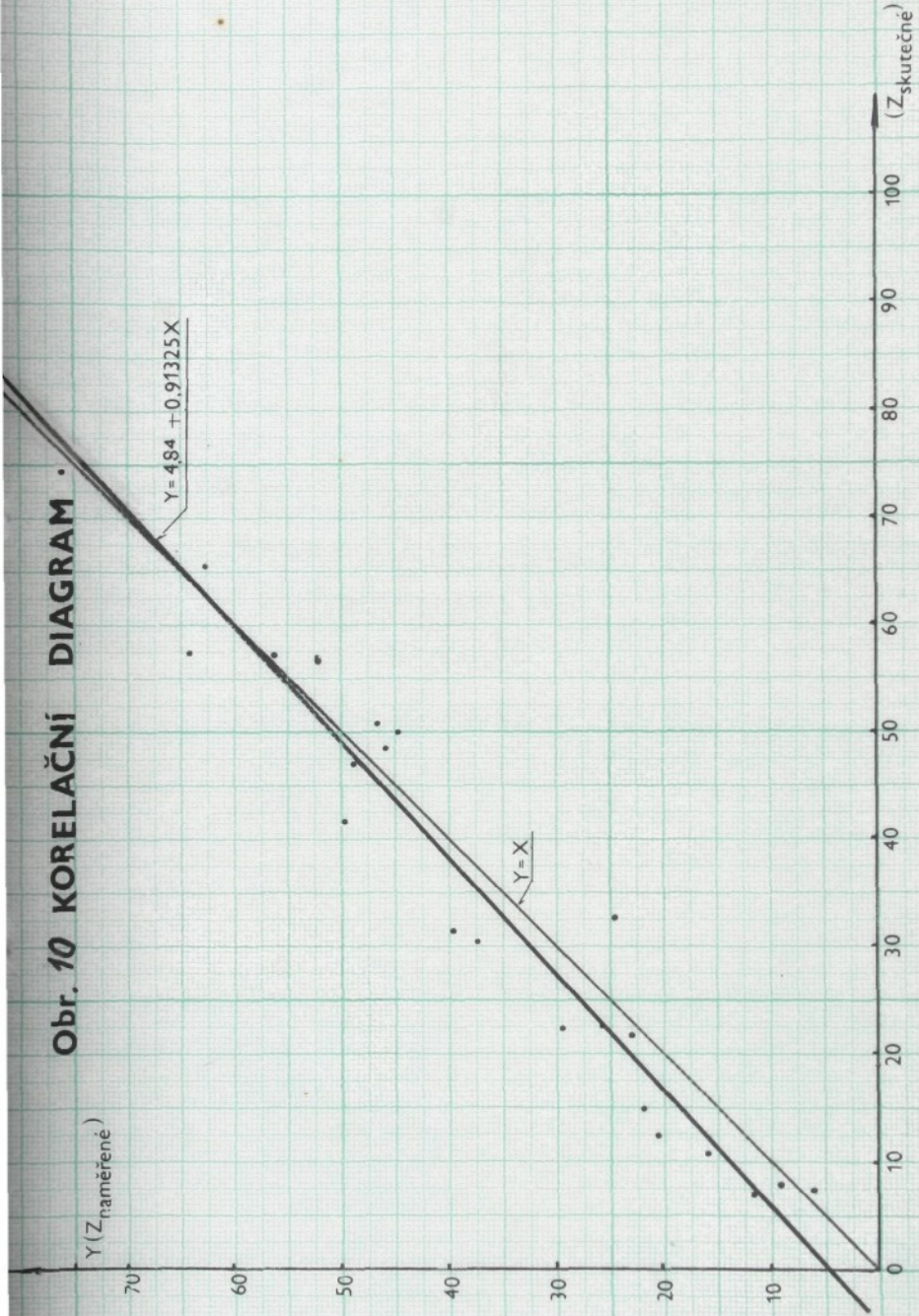
Obr. 8. Kalibrační přímka

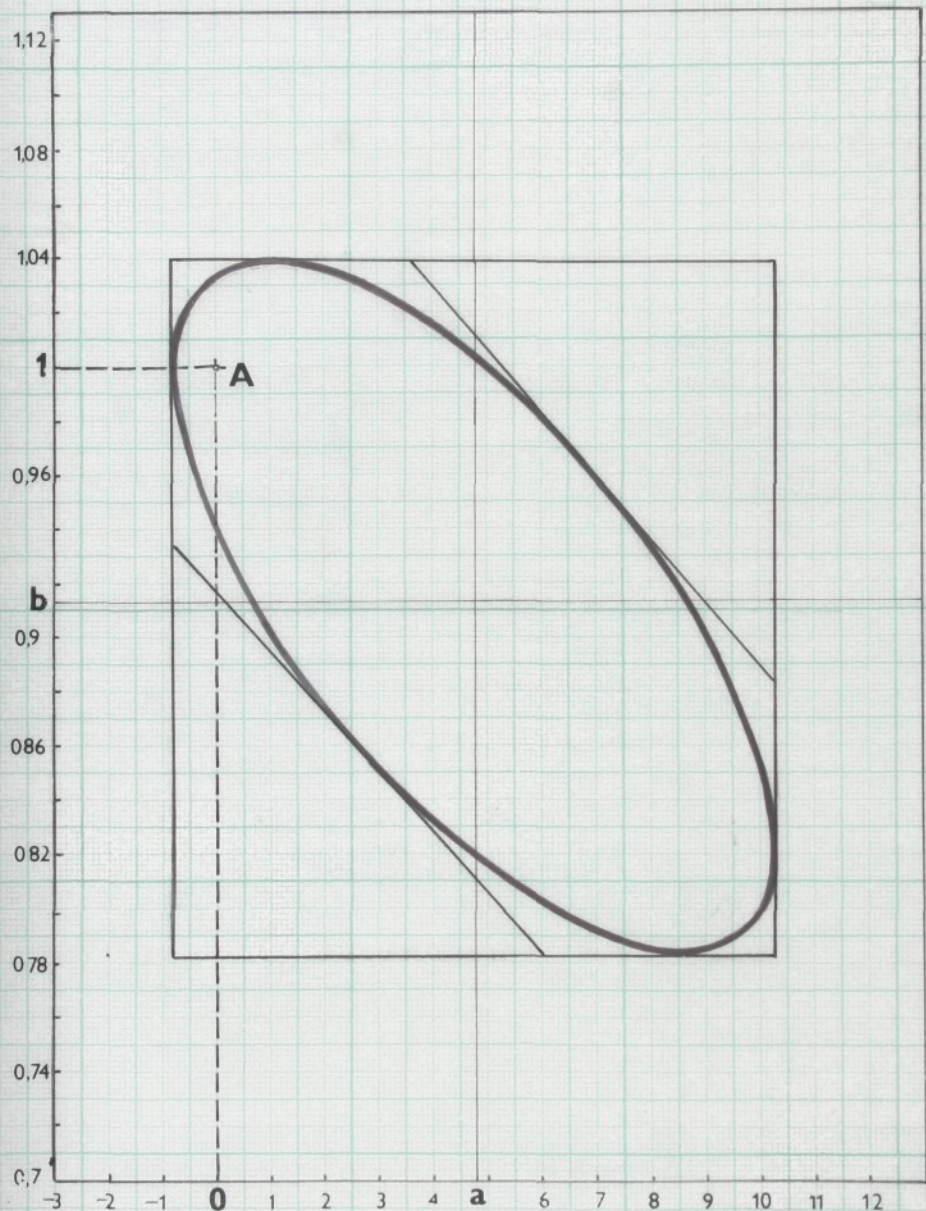


Obr. 9 Testovací diagram pro "SEKVENČNÍ ANALÝZU"



## Obr. 10 KORELAČNÍ DIAGRAM





Obr. 11 MANDELOVA a LINNINGGOVA metoda

#### 4.2.0 VÝHODNOCENÍ EXPERIMENTÁLNÍ PRÁCE A APLIKACE ZÁVĚRU NA VYROBENÉ POJENÉ TEXTILII

Z průběhu regresní přímky (obr.10) jsme předběžně usoudili, že metoda je zatížena soustavnou proporcionalní chybou, neboť do  $z=50\%$  dává výsledky vyšší, než jsou hodnoty skutečné. K ověření tohoto závěru jsme použili t-testu. Testovali jsme hypotézu, že  $a=0$ ,  $b=1$ , to znamená, že systematická a proporcionalní chyba neexistuje. Test-t tuto hypotézu potvrdil. Pro kontrolu testování byla provedena metoda MANDELA a LINNINGA. Její výsledek potvrdil správnost t-testu.

Můžeme tudíž konstatovat, že metoda kolorimetrického stanovení parametru "z" pro pojenu textilii (složení POP-PAD, barvivo-Alizarinová modř čistá B) je správná a přesná, není zatížena žádnou soustavnou chybou.

V následujícím bude uvedena aplikace rovnice regresní přímky pro výpočet intervalu spolehlivosti hodnot na odhadované regresní přímce.

U poloprovozně vyrobene pojene textilii (složení : 30% POP, 70% PAD) byl zjištěn parametr "z" (tab. 5a,b). Při zjišťování intervalu spolehlivosti naměřené hodnoty jjme postupovali dle (2.3.5.0). Parametr "z" byl získán jako průměrná hodnota z deseti měření.

$$\bar{z} = 32,37 \%$$

smerodatné odchylky hodnot na regresní přímce se vypočítají dle (10)

$$s_{y_p} = s_{x,y} \cdot \sqrt{\frac{1}{n} + \frac{(y_p - \bar{y})^2}{\sum (y_i - \bar{y})^2}}$$

kde  $y_p$  je naše získané kolorimetrickou metodou,  $\bar{y}$  je průměrná hodnota z  $y_i$  hodnot, naměřených pro regresní přímku.

Hodnoty pro výpočet najdeme v tabulce 9.

Dosazením získáme výraz:

$$s_{y_p} = 5,48 \cdot \sqrt{\frac{1}{24} + \frac{(32,37 - 28,49)^2}{12 \cdot 678,32}} = 1,45$$

Interval spolehlivosti pro hodnoty ležící na regresní přímce se vypočítá podle vztahu (11):

$$\bar{y}_p - t_{\alpha} \cdot s_{\bar{y}_p} = \bar{y}_p = \bar{y}_p + t_{\alpha} \cdot s_{\bar{y}_p}$$

$t_{\alpha}$  najdeme v tab. 7 pro  $\nu=n-2$ ,  $\alpha=0,05$        $t_{\alpha}=2,074$

Dosazením získáme:

$$32,37 - 2,074 \cdot 1,145 = \bar{y}_p = 32,37 + 2,074 \cdot 1,145$$

$$32,37 - 2,375 = \bar{y}_p = 32,37 + 2,375$$

Závěr: Skutečná hodnota "z" leží s 0,95-ní pravděpodobností  
ve vypočteném intervalu  $\bar{y}_p$

Tabulka 9

Hodnoty pro výpočet intervalu spolehlivosti

i	y <sub>i</sub>	y <sub>i</sub> - $\bar{y}$	(y <sub>i</sub> - $\bar{y}$ ) <sup>2</sup>
1	44,81	16,	236,34
2	56,40	27,91	778,97
3	25,46	3,03	9,0
4	22,77	5,72	32,49
5	6,25	22,24	494,62
6	24,44	4,05	16,0
7	46,48	17,99	323,64
8	45,92	17,43	303,8
9	52,22	23,73	561,69
10	62,88	34,39	1 183,36
11	37,34	8,85	78,32
12	49,21	20,72	428,49
13	15,91	12,58	158,76
14	39,57	11,08	123,21
15	29,27	0,73	0,53
16	75,98	47,49	2 256,25
17	64,09	35,60	1 267,36
18	22	7,49	56,25
19	48,67	20,18	408,09
20	85,45	56,96	3 249,03
21	26,61	1,88	3,24
22	12,01	16,48	271,59
23	9,31	19,18	349,44
24	20,62	7,87	60,84
$\Sigma$ 923,62		$\Sigma^{12}$ 678,32	
$\rho$ 28,50			

5.0.0 Z A V E R E C N A Č A S T

### 5.1.0 ZÁVĚR

Nejpoužívanější metodou pro měření povrchu vláken zasaženého pojivem je kolorimetrická metoda. Přesnost a správnost této metody byla zjištována v některých diplomových pracích /8/ pouhým porovnáním jejich výsledků s výsledky jiných metod. Byla shledávána vhodnou a správnou. Dopusd otázka přesnosti a správnosti metody nebyla řešena pomocí matematicko-statistických metod. Tato diplomová práce, která použila k hodnocení kolorimetrické metody matematicko-statistických metod, vhodnost, přesnost a správnost metody dokázala.

Byla určena regresní přímka pro závislost  $z_{\text{skutečného}}$  a  $z_{\text{naměřeného}}$  pro pojenou textilii složení PAD-POP /jako barviva byla použita ALIZARINOVA MODR čistá B/.

Této rovnice lze využít k výpočtu intervalu spolehlivosti naměřených hodnot pro pojené textilie složení POP-PAD.

Ze závěru vyplývajícího z této práce, že metoda kolorimetrického stanovení parametru "z" je správná a přesná, můžeme změřené hodnoty "z" považovat za výsledek dostačující.

Metoda je náročná na přesnost a pečlivost, proto se doporučuje provést větší počet měření.

Při volbě barviva vybíráme vždy podle dvojice vlákno-pojivo. Požadavkem je, aby barvivo bylo afinní pouze k vláknům a na pojivu se barvení nevykazovalo. Jinak by během barvení došlo k zašpinění pojiva a metoda se tím stává nepřesnou.

6.0.0 SEZNAM POUŽITÉ LITERATURY

1. Krčma, R. : Netkané textilie I , VSST Liberec 1971  
Přednášky na VSST, Liberec 1975
2. Hampl, M. : Struktura netkaných textilií, FÚ VSST, Liberec 1971
3. Krčma, R. : Teorie netkaných textilií, přednášky na VSST,  
Liberec 1974
4. Tichomirov, V.B. : Fiziko-chimičeskie osnovy poluchenija netka-  
nykh materialov, Legk. ind., Moskva 1969
5. Krčma, R.; Zástěra, S. : Příspěvek k objasnení vlivu struktury  
pojených textilií na jejich mechanické vlastnosti,  
VŠST, Liberec 1973
6. Havličková, E. : Diplomová práce, Liberec 1967
7. Hrušková, A. : Diplomová práce, Liberec 1968
8. Raška, D. : Diplomová práce, Liberec 1970
9. Kolektiv autorů : Příručka pro barvíře, SODR, Praha 1962
10. Rais, J. : Základní barvířské výpočty
11. Eckschlager, K. : Chyby chemických rozborů, SNTL, Praha 1961
12. Eckschlager, K. : Chemický průmysl, 14, 206 (1964)
13. Eckschlager, K. : Grafické metody v analytické chemii, SNTL  
1966, Praha 1966
14. Felix, M. - Bláha, K. : Matematicko-statistické metody v che-  
mickém průmyslu, SNTL, Praha 1962
15. Wald, A. : Sequential Analysis, New York, 1947
16. Nalimov, V. V. : Primenenije matematicheskoy statistiki pri  
analize věščestva, Fismatgis, Moskva 1960
17. Solcová, M. : Diplomová práce, Liberec 1974